



مذكرة ماستر

علوم المادة فيزياء فيزياء المواد رقم: أدخل رقم تسلسل المذكرة

> إعداد الطالب: بن عيسى فارس يوم: 16/06/2025

تثبيط تآكل النحاس في وسط حمض الهيدروكلوريك بواسطة مستخلص مائي لأوراق العنب

لجنة المناقشة:		
رئيسا	أ. د.أ جامعة بسكرة	عطاف عبد الله
مقررا	أ.مح أ جامعة بسكرة	مرمي سعيدة
مناقشا	أ. مح أ جامعة بسكرة	نواجي مليكة

: 2025-2024 السنة الجامعية



الحمد لله الذي بنعمته تتم الصالحات، والصلاة والسلام على سيدنا محمّد خير الأنام وحبيب الرحمن، وبعد، فقد صدق من قال: "من لم يشكر الناس لم يشكر الله"، ولأن لكل نجاح شكر وعرفان، تتوجه كلماتي الأولى إلى أستاذتي الفاضلة "د. سعيدة مرمي" المشرفة على هذا العمل، فبدونها لم يكن أي من هذا ممكنًا. لك مني كل الامتنان والتقدير. أشكرها على توجيهاتها، نصائحها وجهودها التي بذلتها في الإشراف على التجارب. ومساهمتها الجوهرية في تحليل وتفسير النتائج والتصحيحات. أتقدم لك بتقديري الكبير واحترامي العميق.

أتشرف بحضور الأستاذ " عطاف عبد الله " رئيسًا للجنة المناقشة، وبالأستاذة " نواجي مليكة " مناقشًا وأشكرهم على الحضور وعلى الملاحظات القيمة ومساهمتهم في التحقق من صحة هذا العمل.

الفه____رس

I	شكر وعرفان
II	شكر وعرفان
IV	قائمة المخططات
IV	قائمة الأشكال
VI	قائمة الجداول
V1	
1	المقدمة
	الفصل الأول: الدراسة النظرية
3	1.I المقدمة
3	2.I التــآكل
3	
3	
4	
4	
5	5.2.I أشكال التآكل
6	6.2.I طرق الحماية من التآكل
7	3.I المثبطات
7	1.3.I تعريف المثبط
7	2.3.I خصائص المثبطات
7	
8	
9	
10 11	2.4.I الإمتزاز
11	
11	
13	3.3.4.I الدراسة الترموديناميكية للإمتزاز
14	
	الفصل الثاني: الدر
	1.II المقدمة
	2.II الأجهزة المستعملة
	3.II الأدوات والمواد المستعملة
16	•
16	3
	4.II تحضير العينات
17	·
17	
	5.II تحضير المحاليل
18	1.5.II تحضير وسط التآكل
18	2.5.II تحضير المحلول المثبط
10	Kآتا التقنية المستحملة لدياسة مميا التآل

1.6.II تقنية الكتلة الضائعة ------ 19

الفصل الثالث: مناقشة وتفسير النتائج

21	غدمة	1.II المة
21	ر التركيز	2.III تأثير
24	ر الزمن	3.III تأثير
27	ر درجة الحرارة	4.III تأثير
30	اِسة الترموديناميكية للإمتزار	5.III الدر
30] تحديد طاقات التنشيط	1.5.III
23		
39	 عاملات الإمتزاز الديناميكي الحراري 	3.5.III
VII		الخاتمة
VIII		المراجع الأ
IX	ەىبة	المراجع ال

قائمة المخططات

4	المخطط (1.I): العوامل المؤثرة على التآكل
4	المخطط (2.I): أنواع التآكل
5	المخطط (3.I): أشكال التآكل
6	المخطط (4.I): طرق الحماية من التآكل
	المخطط (5.I): تصنيف المثبطات
	قائمة الأشكال
9	الشكل (1.I): تشكيل فيلم من عملية الإمتزاز
12	الشكل (2.I): الإمتزاز الفيزيائي
	الشكل (4.I): المركبات الفينولية الأكثر فعالية في أوراق العنب الأحمر
17	الشكل (1.II): جهاز الصقل الميكانيكي
	الشكل (2.II): مراحل تحضير المحلول المثبط
24	t a trace tist. IM IIO to the first and the control of the control
	الشكل (1.III): منحنى تغيرات معدل تآكل النحاس في وسط 1M HCl بدلالة تركيز المثبط الشكل (2.III): منحنى تغيرات فعالية التثبيط بدلالةلتركيز المثبط
	الشكل (3.III): منحنى تغيرات معدل تآكل النحاس في وجود وغياب المثبط بدلالة الزمن الشكل (4.III): منحنى تغيرات فعالية التثبيط بدلالة الزمن
20	الشكل (S.III): منحنى تغيرات معدل تآكل النحاس في وجود وغياب المثبط بدلالة درجة الحرارة الشكل (G.III): منحنى تغيراتفعالية المثبط بدلالة درجة الحرارة
	الشكل (7.III): منحنى عيورفعانية المعدل تاكل النحاس في الوسط 1M HCl بوجود المثبط وغيابه بدلالة 1/T
	الشكل (E.III): منحنى تغيرات (log (T _{corr} /T) في وجود المثبط وغيابه بدلالة 1/T
	الشكل (III.e): متساوي إمتصاص مستخلص أوراق العنب وفقًا لنموذج Langmuir
	الشكل (110.II): متساوي إمتصاص مستخلص أوراق العنب وفقًا لنموذج Temkin
	الشكل (11.III): متساوي إمتصاص مستخلص أوراق العنب وفقًا لنموذج Frumkin
	الشكل (12.III): متساوي إمتصاص مستخلص أوراق العنب وفقًا لنموذج Freundlich
	الشكل (13.III): متساوي إمتصاص مستخلص أوراق العنب وفقًا لنموذج El~Alwado
	الشكل (14.III): متساوي إمتصاص مستخلص أوراق العنب وفقًا لنموذج Flory~Huggins
	الشكل ($15.III$):منحنى تغيرات $\log (\theta)$ بدلالة $\log (C_{\mathrm{inh}})$ الشكل ($\log (\theta)$:منحنى القيرات القيرات الشكل ($\log (\theta)$

قائمة الجداول

14.): المركبات الفينولية في أوراق العنب	
(.2): النماذج الرياضية للإمتزاز متساوي الحرارة	الجدول (]
1. الأجهزة المستعملة	الجدول (]
(2.1): التركيب الكيميائي لعينات النحاس المستعملة	الجدول (]
(2.1): التركيب الكيميائي لعينات النحاس المستعملة	الجدول (]
13. [3.]: الخصائص الميكانيكية لعينات النحاس المستعملة	الجدول (]
2.	
3.II (3.II): قياسات ونتائج تأثير درجة الحرارة على معدل التآكل وفعالية التثبيط	الجدول (]
3.II (3.II): قياسات ونتائج تأثير درجة الحرارة على معدل التآكل وفعالية التثبيط	الجدول (]
$^{\circ}$ 5.II): نتائج تغيرات تغطية السطح $^{\circ}$ بدلالة تركيز المثبط $^{\circ}_{\mathrm{inh}}$	الجدول (]
$^{\circ}$ 5.II): نتائج تغيرات تغطية السطح $^{\circ}$ بدلالة تركيز المثبط $^{\circ}_{\mathrm{inh}}$	الجدول (]
$6. ext{III}$ قيم معامل الإرتباط لجميع معادلات متساوي الحرارة	
تيم طاقة جيبس $\Delta ext{G}^0_{ m ads}$ و معامل الامتزاز $ ext{K}_{ m ads}$ لجميع التراكيز حسب نموذج 7.III	الجدول (]
= · · · · · · · · · · · · · · · · · · ·	
9.II): قيم معامات الإمتزاز الديناميكي الحراري للمستخلص المائي لأوراق العنب في 1M HCl بدلالة T 40	

قائمة الرموز

ועענة	الرمـــــز
التغير في الكتلة (الكتلة الضائعة)	Δm
كتلة العينة قبل الغمر	m_1
كتلة العينة بعد الغمر	m_2
معدل التآكل (معدل التآكل)	T_{corr}
مساحة السطح المغمور من العينة	S
زمن الغمر	t
فعالية التثبيط	E%
معدل التآكل في غياب المثبط	T_{0}
معدل التآكل في وجود المثبط	T_{inh}
ثابت التوازن لعملية الإمتزاز	K_{ads}
طاقة جيبس للإمتزاز	ΔG_{ads}^{0}
أنتالبي الإمتزاز	ΔH^{o}_{ads}
أنتروبي الإمتزاز	ΔS_{ads}^0
ثابت الغازات	R
درجة الحرارةالمطلقة	T
تركيز المثبط	C_{inh}
تغطية السطحية	θ
طاقة التنشيط	E_a
التردد	A
أنتروبي التنشيط	⁰ ∆S _a
أنتالبي التنشيط	$\Delta H_{a}{}^{0}$
عدد أفوكادو	N_A
ثابت بلانك	h

المقدمة العامة

النحاس موجود في جميع جوانب الحياة ويعتبر معدنًا مستخدمًا على نطاق واسع، حيث يُستخدم في صناعات مختلفة. يتعرض النحاس حتمًا للأوساط التآكلية مثل الهواء والماء خلال عملية الاستخدام، مما يؤدي إلى أكسدته وتآكله.

ومن أجل تقليل الخسائر المختلفة للنحاس بسبب التآكل، تُستخدم عادةً المحاليل المائية للأحماض لخلع النحاس وإزالة الأكسدة السطحية .ومع ذلك، فإن النحاس أيضًا عرضة للتآكل في المحاليل الحمضية، مما يشكل مشكلة كبيرة لحماية النحاس من التآكل. [1]

التآكل هو ظاهرة طبيعية، لا يمكن تجنبها ولكن يمكن التعامل معها إلى مستوى ملحوظ. يسبب التآكل خسارة اقتصادية عالمية تصل تقريبًا إلى 3% من الناتج المحلي الإجمالي.

أصبحت دراسة سلوك التآكل في الأحماض أمرًا مهمًا للغاية بسبب التطبيقات الصناعية المتزايدة بمعدل في البيئة الحمضية. في الوقت نفسه، يتم تطوير طرق للحماية من التآكل.

المثبطات التقليدية غير العضوية تستخدم بشكل واسع في الحماية ضد التآكل، إلا أن واحدة من العوائق الرئيسية مع معظم المثبطات الاصطناعية هي المخاطر البيئية التي تشكلها، حيث إنها سامة وغير قابلة للتحلل البيولوجي بالإضافة لكونها باهظة الثمن. لذلك، تم إجراء المزيد من الأبحاث والجهود للعثور على مثبطات بديلة.

أصبحت دراسة المنتجات الطبيعية كمثبطات خضراء للتآكل موضوعًا واسع النطاق بسبب تكلفتها المنخفضة وخصائصها الصديقة للبيئة فهي بذلك تحل محل المثبطات الاصطناعية. [2]

تحظى المستخلصات النباتية بكثير من الإهتمام، وتعتبر مثبطات واعدة لكونها قائمة على مواد متوفرة، بل وقابلة لزيادة إنتاجها، وأيضًا قابلة لزيادة فعاليتها بالمعرفة الأعمق للمواد الفعالة فيها (ذلك أنها تحتوي على العديد من المركبات العضوية التي لها خصائص مقاومة للتآكل) وتطوير طرق إستخلاصها. [3]

يهدف هذا العمل إلى دراسة مدى فعالية مستخلص مائي لأوراق "العنب" كمثبط لتآكل النحاس في وسط حمضى (حمض كلور الهيدروجين).

تمت دراسة معدل التآكل (في غياب ووجود المثبط) وفعالية المثبط من خلال طريقة " الكتلة الضائعة" حيث يأخذ بعين الإعتبار تأثير: تركيز المثبط، درجة حرارة وسط التآكل ومدة الزمنية لغمر العينة.

ومن أجل تحديد طاقة التثبيط ونوع الإمتزاز نقوم بالدراسة الترموديناميكية للإمتزاز

يعتمد هذا العمل على ثلاث فصول كالآتى:

الفصل الأول: يمثل في دراسة نظرية لظاهرة التآكل وطرق الحماية منها، وسلط الضوء على الحماية بالمثبطات الخضراء.

الفصل الثاني: تم فيه وصف الدراسة التطبيقية لظاهرة التآكل والتحقق من مدى فعالية المثبط "المستخلص المائي لأوراق العنب" في الحماية من التآكل.

الفصل الثالث: يحتوي على القياسات والنتائج التي توصلنا إليها خلال الدراسة التطبيقية، حيث ترجمة النتائج في شكل منحنيات بيانية بهدف تحليلها وتفسيرها.

يختم العمل بأهم النتائج التي تم التوصل إليها من خلال هذه الدراسة.

الفصل الأول الدراسة النظرية للتآكل والمثبطات الخضراء

1.I مقدمة

التآكل، إنه مشكلة مستمرة ودائمة، وغالبًا ما يكون من الصعب القضاء عليها تمامًا. سيكون من الأكثر عملية وقابلية للتحقيق الوقاية بدلاً من محاولة القضاء عليها. [4]

2.I التآكــل

1.2.I مفهوم التآكل

يعرف التآكل بأنه عملية إتلاف المعدن، الذي يحدث بسبب تفاعل كيميائي أو إلكتروكيميائي في وسط غازي أو مائي، يمكن القول أيضا أن التآكل هو تفاعل غير عكوس للسطح الفاصل بين المعدن والوسط المحيط به.

هذا ويخطئ البعض عند إستخدام تعبير "الصدأ " بدلاً من التآكل، فالصدأ هو المادة الناتجة عن تآكل الحديد (أكسايد الحديد) فقط. [5]

التآكل المعدني هو الظاهرة التي تميل فيها المعادن والسبائك، تحت تأثير العوامل الكيميائية أو العوامل الجوية، إلى العودة لحالتها الأصلية من "أكسيد" أو "كبريتيد" أو "كربونات" أو أي ملح آخر أكثر استقرارًا في البيئة المحيطة.

تَعتبر هذه التعريفات أن التآكل ظاهرة ضارة فهو يدمر المادة أو يقلل من خصائصها، مما يجعلها غير قابلة للاستخدام في التطبيق المقصود. إلا أنه أحيانًا يكون ظاهرة مرحب بها، على سبيل المثال: الأكسدة الأنودية للألمنيوم تهدف لتشكيل طبقة أكسيد أكثر إستقرارًا ومقاومة للتآكل الجوي. [6]

2.2.I آلية التآكل

إن عدم وجود ثبات أو استقرار للمعادن هو السبب الذي يؤدي إلى عملية التآكل، ينتج التآكل بسبب النفاعل الذي يحدث بين المعدن ومحيطه، فتحد أكسدة للمعادن أي انتقال للشحنات الموجبة من المعدن إلى المحلول ويمكن تمثيلها حسب التفاعل التالى: [7]

$$M \rightarrow M^{+n} + ne^{-}_{----}$$
 (1.I)

حيث: M: المعدن

n : عدد الإلكترونات

e⁻ : الإلكترون

في حين تتم عملية إرجاع المؤكسد (وسط التآكل) حسب نوعه ووسطه حيث: إذا كان الوسط حامضي يتصاعد غاز الهيدروجين وفق المعادلة: [8]

$$2H^+ + 2e^- \rightarrow H_{2(g)} - - - - - (2.I)$$

3.2.I العوامل المؤثرة على التآكل

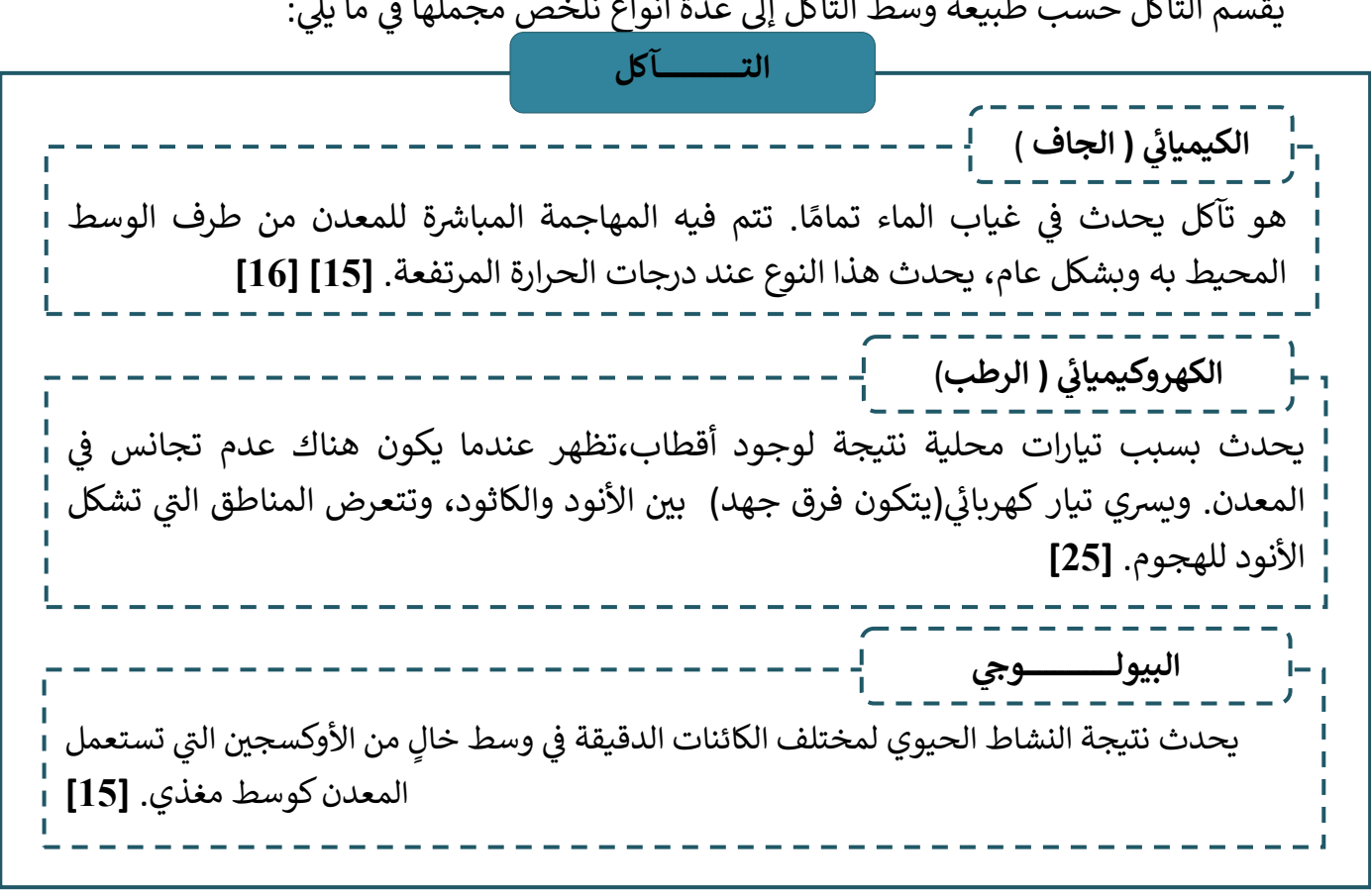
تعتمد ظاهرة التآكل على عدد كبير من العوامل ويمكن تصنيفها إلى أربع مجموعات رئيسية حسب المخطط التالي: [11,10,9]

العوامل المؤثرة على التآكل الوقت وسط التآكل الخصائص المعدنية شروط العمل - تركيب السبيكة. - تركيز المادة المتفاعلة. - شيخوخة المعدن. حالة السطح. شكل القطعة. عمليات التصنيع. - كمية الأكسجين. - التوترات الميكانيكية. - تعديلات طلاء الحماية. استخدام المثبط. - الشوائب. - درجة الحموضة. - المعالجة الحرارية. عمليات التجميع. - درجة الحرارة. المعالجة الميكانيكية. - الضغط.

المخطط (1.I): العوامل المؤثرة عل التآكل

4.2.I أنواع التآكل

يقسم التآكل حسب طبيعة وسط التآكل إلى عدة أنواع نلخص مجملها في ما يلى:



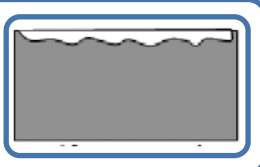
المخطط (2.I): أنواع التآكل

5.2.I أشكال التآكل

إن تأثير التآكل على سطح المعدن يأخذ أشكالاً مختلفة أبرزها ما يلى:

التآكل المنتظم:

هو النوع الأكثر شيوعا لأنه يتم على جميع نقاط سطح المعدن بنفس المعدل أي بسرعة ثابتة مما يجعل سماكة التآكل منتظمة. [13]



التآكل الخطى:

تآكل خاص بالمعادن المطلية، يبدأ عند عيوب الطلاء و النقاط الضعيفة ثم ينتشر بين المعدن والطلاء مكونًا خيوطا رفيعة وطويلة يتطلب بيئة رطبة جدًا. [14]



التآكل الموضعي (النقري):

يحدث نتيجة تدهور موضعي لطبقة رقيقة جدًا تُسمى الطبقة السلبية، والتى تتشكل على سطح المعدن نتيجة تفاعله مع الوسط المحيط.[10]



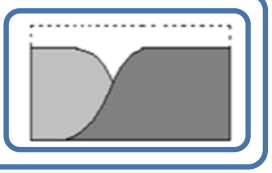
التآكل الغلفاني:

المعروف بالتآكل ثنائي المعدن؛ يحدث بسبب تكوين خلية كيميائية كهربائية بين معدنين، وبزداد تدهور المعدن الأقل مقاومة.[15]



التآكل بين الحبيبات:

هو تآكل موضعي في مناطق مابين الحبيبات نظرا لوجود اختلاف في الخواص الميتالورجية لهذه المنطقة عن المناطق الاخرى. [12,10]



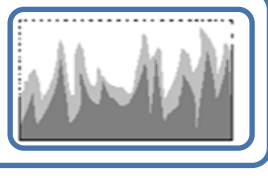
التآكل بالتعربة:

تأكل المعادن المعرضة الى سوائل مساعدة للتأكل عند تحركها بسرع عالية. [12,10]



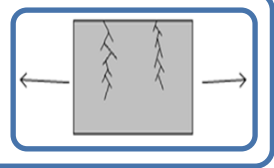
التآكل الإنتقائي:

يحدث بسبب أكسدة مكون من السبيكة، مما يؤدي إلى تشكيل بنية معدنية مسامية .[15]



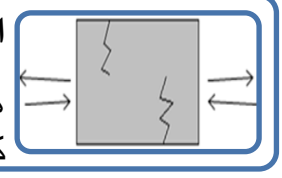
التآكل التصدعي:

تآكل موضعي يحدث نتيجة اختلاف في طبيعة الوسط في المنطقة المتآكلة عن بقية اجزاء سطح المعدن . [12,10]



التآكل بالإجهاد

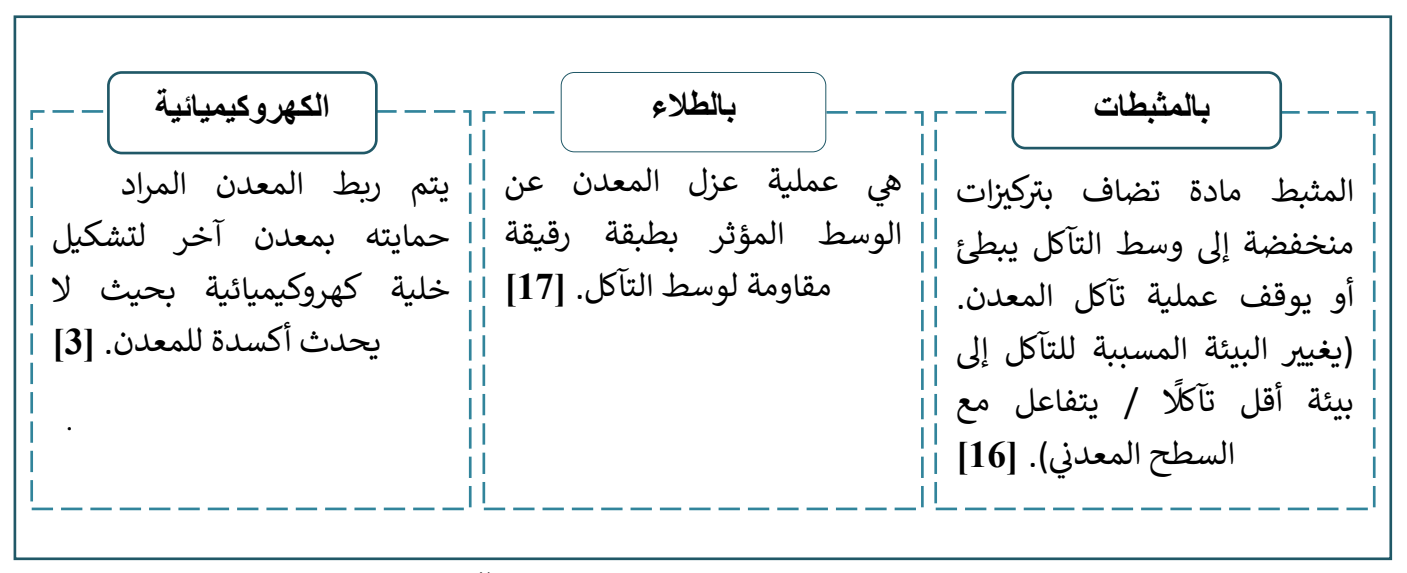
هو تشقق المعدن الناتج عن العمل المشترك لضغط ميكانيكي وتفاعل كيميائي كهربائي.[15]



المخطط (3.I): أشكال التآكل

6.2.I طرق الحماية من التآكل

هناك العديد من وسائل الحماية ضد التآكل. نلخص أهمها في المخطط (4.I).



المخطط (4.I): طرق الحماية من التآكل

3.I المثبطات

1.3.I تعريف المثبطات

يعرف المثبط حسب المعيار 8044 على أنه: "مادة كيميائية تضاف إلى نظام التآكل بتركيز مختار لفعاليته، وتؤدي إلى انخفاض في معدل التآكل دون تغيير كبير في تركيز العامل المسبب للتآكل الموجود في الوسط العدواني." [18,12]

المثبطات هي مادة كيميائية تضاف إلى السوائل فتمنع التآكل على أسطح المعادن لأنها تحول دون حدوث التفاعلات الكيميائية عند الأنود أو الكاثود أو كليهما وتوقف بالتالي مفعول خلايا التآكل كما أنها تترك طبقة خفيفة عازلة على سطح المعدن. [19]

2.3.I خصائص المثبطات

بشكل عام، يجب أن يتميز المثبط بما يلي: [18]

- √ خفض معدل تآكل المعدن، دون التأثير على خصائصه الفيزيائية والكيميائية، وخاصة المقاومة الميكانيكية (على سبيل المثال: خطر الهشاشة بسبب الهيدروجين في الوسط الحمضى)؛
 - ✓ أن يكون مستقرًا في وجود المكونات الأخرى للوسط، وخاصة تجاه المؤكسدات؛
 - ✓ أن يكون مستقرًا عند درجات حرارة الاستخدام؛
 - ✓ أن يكون فعالًا بتركيز منخفض؛
 - ✓ أن يكون متوافقًا مع معايير عدم السمية؛
 - √ أن يكون غير مكلف.

3.3.I آلية عمل المثبطات

ليس لمثبطات التآكل طريقة عمل خاصة، ولكنها مرتبطة بنظام التآكل حيث:

- ✓ يمكن أن يعمل المثبط كحاجز بين المعدن والوسط المسبب للتآكل، ويمكن أن يكون هذا الحاجز موجودًا مسبقًا: طبقة أكسيد أو هيدروكسيد تكونت بالفعل، وفي هذه الحالة، تتضمن الآليات في أغلب الأحيان عمليات امتزاز وسد للسطح.
- ✓ يمكن أن تكون طريقة العمل أيضًا ذات طبيعة حركية، حيث يمكن للمثبط أن يبطئ معدل
 التفاعل الكاثودي أو التفاعل الأنودي أو يعمل على كليهما في نفس الوقت.
- ✓ يمكن أن ينتج التثبيط أيضًا عن تكوين مركب غير قابل للذوبان يسد المناطق الحساسة،
 وبالتالي تقل معدل التآكل مع مرور الوقت.

ووفقًا للتعريف الذي قدمته الرابطة الوطنية لمهندسي التآكل" (NACE) المثبط هو مادة تؤخر معدل التآكل عند إضافتها إلى بيئة بتركيز منخفض". يتم تحقيق تقليل معدل التآكل إما عن طريق الحد من التفاعلات الكيميائية أو الكهروكيميائية أو عن طريق تعديل عدوانية الإلكتروليت، في الواقع عن طريق تعديل واجهة المادة/الوسط. [20]

4.3.I تصنيف المثبطات

يمكن تصنيف مثبطات التآكل وفق المخطط التالى:

تصنيف المثبطات			
حسب الطريقة الكهروكيميائية للعملية	حسب طريقة عملها	حسب طبيعتها الكيميائية	
- مثبطات آنودية. - مثبطات كاتودية. - مثبطات مختلطة.	- مثبطات الإمتزاز. - مثبطات التخميل Passivans (تشكل غشاء على سطح المعدن)	- العضوية. - غير العضوية (المعدنية).	

المخطط (5.I): تصنيف المثبطات [20]

4.I المثبطات العضوية

بإعتبار المنتجات النباتية مواد غير سامة وسهلة الاستخلاص و قابلة للتحلل ، فقد طورت الدراسات وأثبتت أن هذه المواد يمكن إستعمالها كمثبطات لتآكل المعادن في معظم الأنظمة، بدلاً عن المثبطات الخضراء.

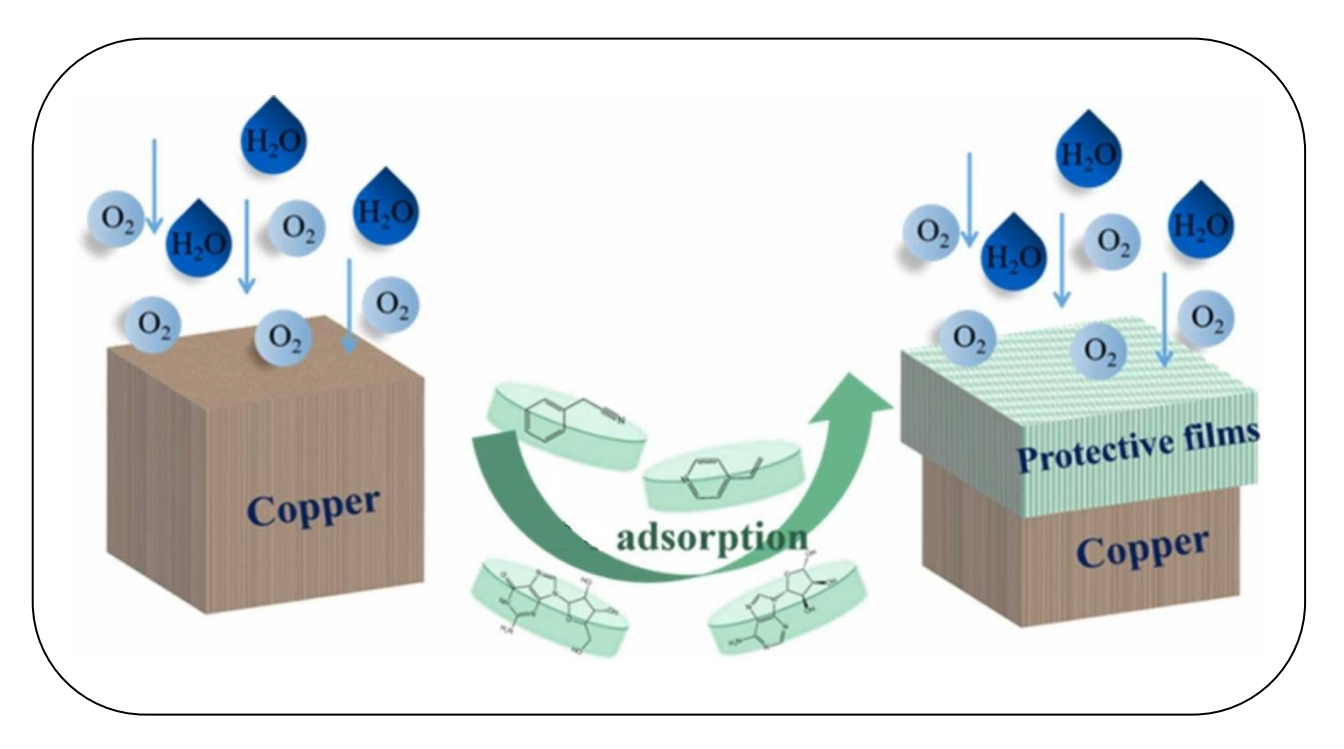
إن المستخلصات النباتية تعتبر مثبطات جيدة لتآكل المعادن ، فقد تم استخدامها مؤخرا بشكل رئيسي وذلك لإنخفاض تكلفتها و إمكانية الحصول عليها بسهولة، و إحتوائها على مركبات جيدة لها تأثير مضاد للتآكل. [5]

تعمل المركبات العضوية المستخدمة كمثبطات للتآكل كمثبطات كاثودية أو أنودية، أو كليهما. ولكن في معظم الحالات، تعمل المثبطات العضوية من خلال عملية " إمتزاز" على السطح مع تكوين فيلم واقٍ. الشكل (1.I)

يجب أن تكون جزيئات المثبطات ذات ألفة قوية للأسطح المعدنية. وبالتالي، يحدث امتزاز فيلم واقٍ غير قطبي يتكون من الجزيئات العضوية، مما يوفر حماية حاجزية ضد ذوبان المعدن في محلول إلكتروليتي.

يجب أن تكون الجزيئات قابلة للذوبان أو التشتت في الوسط القريب من المعدن. [14]

يجدر بالذكر أن المركبات العضوية التي تمتلك قدرة تثبيط مثبتة تحتوي على مجموعات وظيفية قطبية (وجود ذرات S أو O أو O



الشكل (1.1): تشكل فيلم من عملية إمتزاز المثبط[1]

1.4.I المثبطات العضوية في الوسط الحمضي

تتضح شدة التآكل بشكل خاص في الأوساط الحمضية المستخدمة في عمليات التنظيف الحمضي والمعالجة السطحية للمعادن عند الإنتاج وإزالة الترسبات في المبادلات الحرارية، في مثل هذه الحالات يعد إستخدام مثبطات التآكل الطريقة العملية الأكثر فعالية لحماية المعادن من التآكل. [3]

في الأوساط الحمضية، فإن المثبطات الأكثر استخداماً هي النوع العضوي. تعمل هذه المثبطات عن طريق الإمتزاز على سطح المعادن. [6]

في البيئات الحمضية، توجد جزيئات المستخلص في كل من الأشكال المتعادلة والأيونية. لذلك، يمكن أن يتم امتزاز هذه الجزيئات بشكل متعادل وبروتوني.

بالنسبة للجزيئات المتعادلة، يمكن أن تتم عملية الامتزاز بآلية الامتزاز الكيميائي عن طريق استبدال جزيئات الماء الممتزة على السطح المعدني بجزيئات المثبط ومشاركة الإلكترونات بين الذرات غير المتجانسة للمثبط وذرات السطح المعدني.

يمكن أن تتم عملية الامتزاز الفيزيائي من خلال التفاعل بين أزواج الإلكترونات للحلقات العطرية في جزيئات المثبط مع المدارات الخارجية الفارغة لذرات المعدن. في هذا النوع من آلية الامتزاز، يمكن أن تشارك كل من الجزيئات المتعادلة والجزيئات البروتونية .

في محلول حمض الهيدروكلوريك، توجد شحنة موجبة إضافية على السطح المعدني، ومن ناحية أخرى، نظرًا لأن أيونات الكلوريد مغطاة بكمية صغيرة من الماء، فإنها تذهب إلى السطح المعدني من خلال الامتزاز الخاص وتجذب المزيد من الأيونات الموجبة. في هذه الحالة، يتم وضع أيونات الكلوريد على شكل جسر بين سطح المعدن والجزيئات البروتونية للمثبط.

ترتبط كمية التركيز المطلوبة للحصول على تثبيط مثالي لمركب ما بنوع التفاعلات بين الجزيئات المثبطة مع بعضها البعض، وكذلك نوع تفاعلها مع السطح المعدني. لذلك، وفقًا للنقاط المذكورة، يمكن أن يرتبط الاختلاف بين التركيز الأمثل للمثبط في حمض الهيدروكلوريك والبيئات الحمضية الأخرى بالاختلاف في تفاعل جزيئات المثبط مع السطح المعدني في وجود أيونات الكلوريد في البيئة. [22]

2.4.I الإمتزاز

الامتزاز ظاهرة سطحية، حيث تنجذب أيونات المواد أو جزيئاتها أو ذراتها (المادة الممتزة) في حالتها الغازية أو السائلة على سطح المادة الصلبة (المادة المازة)، حتى يصل التوازن بين الجزيئات الممتزة، وتظل تلك الجزيئات متناثرة بحرية في الغاز أو السائل الحامل.[23]

يعرف الامتزاز بأنه ظاهرة تجمع مادة على شكل ذرات أوجزيئات او أيونات على سطح مادة أخرى. تسمى المادة التي يتم إمتزازها بالمادة الممتزة (Adsorbate) والسطح الماز الذي تحدث فيه عملية الامتزاز (Adsorbent).

تحدث عملية الامتزاز نتيجة لظهور حالة عدم توازن أو عدم تشُّبع للقوى الجزيئية للأسطح السائلة والصلبة. [24]

1.2.4.۱ مبدأ الإمتزاز

في مادة صلبة، لا تتمتع الذرات الموجودة على السطح بنفس البيئة الكيميائية التي تتمتع بها الذرات الموجودة في قلبها. هذا الاختلاف (يوصف بالروابط المفقودة) يؤدي إلى طاقة إيجابية تسمى الطاقة السطحية. عند وضع المادة الصلبة على اتصال مع طور مائع (سائل أو غازي)، ستأتي جزيئات من هذا الطور لتثبت على سطح المادة الصلبة من خلال عملية "الامتزاز"، لتقليل الطاقة السطحية للنظام. يشكل تراكم الجزيئات على السطح طبقة بينية تعتبر طورًا ديناميكيًا حراريًا جديدًا: الطور الممتز. [25]

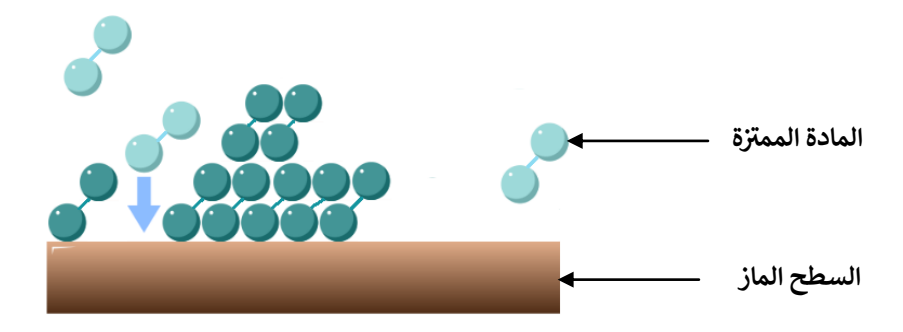
2.2.4.I أنواع الإمتزاز

يصنف الامتزاز بالاعتماد على نوع القوى الرابطة بين السطح الماز و المادة الممتزة إلى:

الإمتزاز الفيزيائي:

حدث هذا النوع من الامتزاز عندما تكون قوى "Vander Waals" للتجاذب بين جزيئات المائع وسطح المادة الصلبة أكبر من قوى التجاذب بين جزيئات المائع نفسها. إن حرارة الامتزاز في هذا النوع تكون قليلة وبالتالي فإن هذا النوع من الامتزاز يكون مستقرًا فقط في أقل من $^{\circ}$ 150، يتميز هذا الامتزاز بتشكيل عدة طبقات جزيئية على سطح الامتزاز. [24]

الجزيئات الممتزة فيزيائياً لا تخضع لتعديل في تركيبها، والظاهرة قابلة للعكس بشكل عام (يمكن إزالة امتزاز أي جزيء ممتز عن طريق خفض الضغط أو زيادة درجة الحرارة). [25]

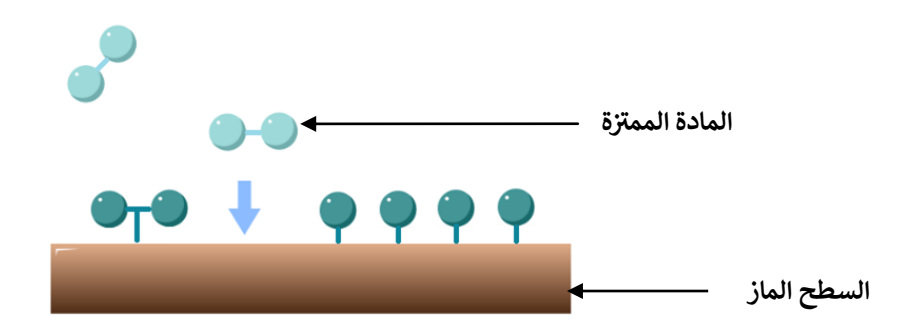


الشكل (2.I): الإمتزاز الفيزيائي[26]

الإمتزاز الكيميائي:

يعرف الامتزاز الكيميائي بتكوين روابط كيميائية بين السطح الماز (المعدن) والجزيئات الممتزة عليه ، ويرافقه تكون طبقة احادية الجزيئية على السطح الماز. يتميز الامتزاز الكيميائي بتبادل الالكترونات بين السطح الماز والمادة الممتزة.

يرتبط حدوث نوع الامتزاز بدرجات الحرارة، قد يحدث الامتزاز الفيزيائي عند درجة حرارة منخفضة، يليه حدوث الامتزاز الكيميائي عند درجات حرارة عالية. [24]



الشكل (3.1): الإمتزاز الكيميائي[26]

الجدول (1.I): مميزات الإمتزاز الفيزيائي والكيميائي [17]

الإمتزاز الكيميائي	الإمتزاز الفيزيائي	
روابط كيميائية	روابط كهروستاتيكية	
عيديميد عباق	Van Der Waals و	القوى
نقل إلكتروني بين مدارات المعدن	بين شحنة أيونية / ثنائيات أقطاب	
وجزيئات المثبط (فعالية تثبيط عالية)	المثبط والمعدن (مشحون كهربائيًا)	
غير عكوس	عكوس	الظاهرة
سريع	بطيء	المعدل
عالية	ضعيفة	طاقة التنشيط
مرتفعة	منخفضة	درجة الحرارة

3.2.4.I الدراسة الترموديناميكية للإمتزاز

كثيرا ما يكون إمتزاز المكونات الفعالة الخطوة الأولى في التثبيط، وبذلك يتم تفسير الفعل التثبيطي للمستخلصات النباتية غالبًا بالإستناد إلى الإمتزاز الجزيئي.

يستخدم الإمتزاز المتساوي الحرارة لوصف تفاعلات جزيئات المثبط مع المواقع النشطة على سطح المعدن .

هناك العديد من النماذج الرياضية التي تعبر عن الإمتزاز متساوي الحرارة والتي تقدر كمية الإمتزاز (جزيئات/ أيونات المثبط) على سطح المادة المازة (المعدن) عند درجات الحرارة الثابتة، مدرجة في الجدول التالي: [3]

الجدول (2.I): النماذج الرياضية للإمتزاز متساوي الحرارة

النموذج الموافق لـ:	العلاقة الرياضية	
Langmuir	$\frac{C_{\text{inh}}}{\theta} = \frac{1}{K_{\text{ads}}} + C_{\text{inh}} - \dots (4.I)$	
Frumkin	$ln\theta = lnK_{ads} + xlnC_{inh} $ (5.1)	
Temkin	$\theta = -\frac{1}{2 \times \alpha} \ln K_{ads} - \frac{1}{2 \times \alpha} \ln C_{inh(6.1)}$	
El-Alwado	$\log\left(\frac{\theta}{1-\theta}\right) = \log K_{ads} + n\log C_{inh} $ (7.1)	
Freundlich	$ln\theta = lnK_{ads} + nlnC_{inh} $ (8.I)	
Flory-Huggins	$log\left(\frac{\theta}{C_{inh}}\right) = logxK_{ads} + xlog(1-\theta)_{} $ (9.1)	

تهدف الدراسة الترموديناميكية إلى معرفة قيم طاقة التنشيط والتغيرات الأونتالبية والأونتروبية وطاقة الإمتزاز التي من خلالها يمكننا تحديد خصائص عملية الإمتزاز المثبط (مستخلص أوراق نبات العنب) على سطح المعدن (النحاس). [21]

: " Arrhenius" من خلال علاقة الإمتزاز الحرة ΔG^0_{ads} من خلال علاقة

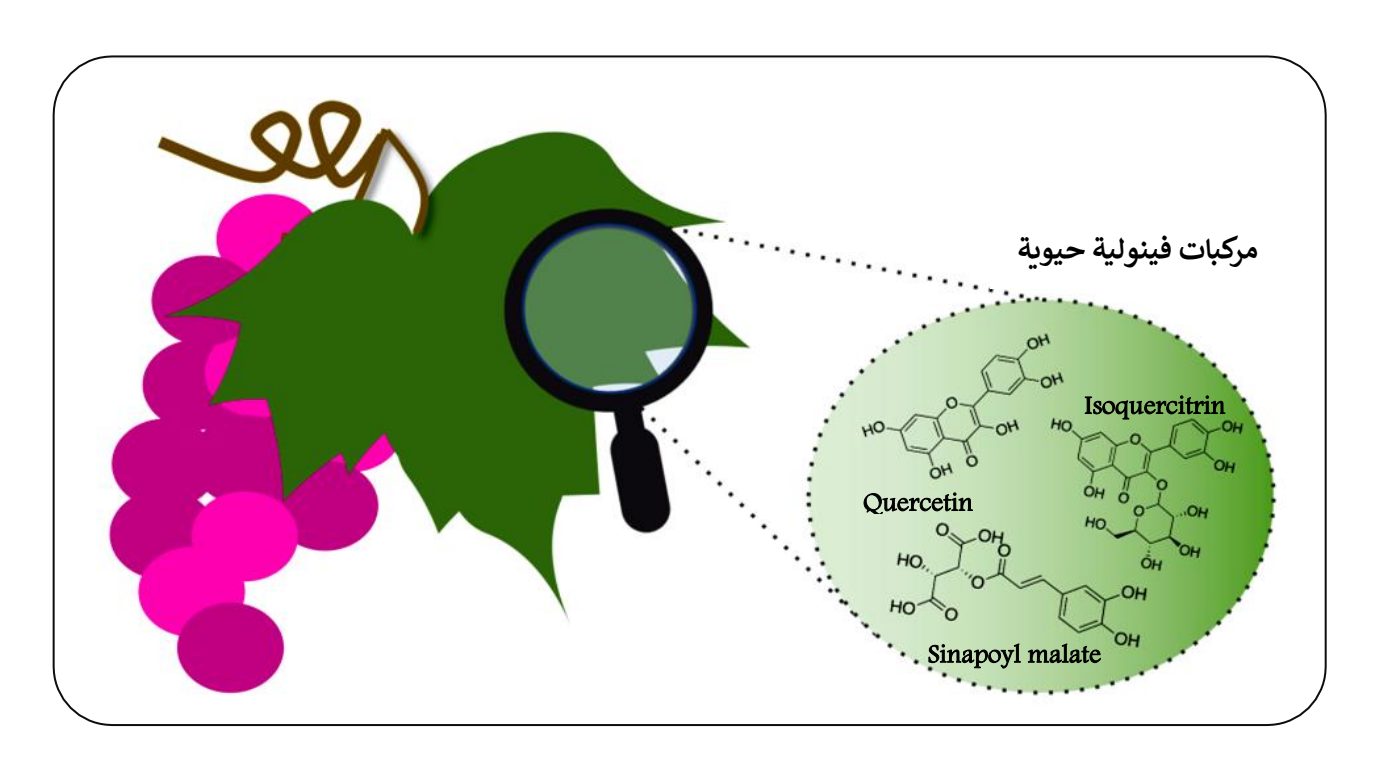
$$\Delta \mathbf{G_{ads}^0} = -RTln(K_{ads}.C) - \cdots (10.I)$$

حيث: K_{ads} : ثابت توازن الإمتزاز ويحسب من علاقة متساوي الحرارة لـ " Freundlich " في الإمتزاز

5.I أوراق العنب

تُستخدم أوراق العنب تقليديًا كغذاء، وعلف حيواني، وفي مكونات المكملات الغذائية، وفي مستحضرات التجميل. مثل بقية أجزاء النبات، تتميز بشكل رئيسي بالمركبات الفينولية. الأحماض الفينولية والفلافونولات هي الفئات الرئيسية من المركبات، تُنسب الخصائص المفيدة لأوراق العنب إلى هذه المركبات الفينولية وترتبط بشكل رئيسي بنشاطها المضاد للأكسدة المعروف.[27]

تعمل جزيئات مستخلص أوراق العنب كمثبطات تآكل حيث توفر تغطية وحماية ممتازة لسطح المعدن بسبب هياكلها المعقدة ومساحة سطحها الكبيرة، وإحتوائها على العديد من المراكز الغنية بالإلكترونات مثل المجموعات الوظيفية القطبية (OH)، (OH)، والحلقات العطرية التي من خلالها تمتص وتعمل بفعالية كمثبطات تآكل ممتازة. [28]



الشكل (4.I): المركبات الفينولية الأكثر فعالية في أوراق العنب الأحمر [27]

وقد أظهرت الدراسات المرجعية إحتواء أوراق العنب بصفة عامة على نسب عالية من مركبات بولي فينول (تختلف نسبها حسب نوع العنب) وقد أكدت المعطيات دور مجموعات الفينول والحجم الجزيئي للمركبات في تثبيط التآكل. الجدول أسفله يوضح التركيبة الكيميائية لأوراق العنب:[29]

الجدول (3.I): المركبات الفينولية في أوراق العنب الأحمر [31,30,29]

		المركب
	1	Gallic acid
	2	Pyrocatechol
<u>.</u> Z	3	Chlorogenic acid
بماض	4	Caffeic acid
الأحماض الفينولية	5	p- Coumaric acids
ياية	6	Ferulic acid
	7	Methyl gallate (ester)
	8	Cinnamic acid
_ 1		Daidzein
لفلافر	2	Quercetin
ونولاد	3	Kaempferol
ت sbi	4	Apigenin
الفلافونولات Flavonoids	5	Catechin
	7	Rutin
	8	Naringenin

الفصل الثاني الفصاني الدراسة التطبيقية

الفصل الثاني الدراسة التطبيقية

1.II مقدمة

في هذا الفصل، سنقدم مراحل إعداد العينات والمحلول الحمضي (الوسط الأكال) وطريقة استخلاص المثبط(المستخلص المائي لأوراق العنب) ويتم التطرق إلى التقنية المستعملة لدراسة معدل التآكل، وشرح الدراسة الترموديناميكية للإمتزاز.

2.II الأجهزة المستعملة

المستعملة	أجهزة	1.II): (8	الجدول (
-----------	-------	-----------	----------

النوع - الطراز	الجهاز
LMS-1003	خلاط ميكانيكي بقضيب مغناطيسي
FA-2004B	الميزان الإلكتروني ذو حساسية 0.0001
MECAPOL P260	جهاز الصقل الميكانيكي
903	pH متر
/	جهاز التسخين مع شريط التحريك
/	ميزان الحرارة الإلكتروني
/	القدم القنوية

3.II الأدوات والمواد المستعملة

1.3.II الأدوات

- ورق کاشط (80، 120، 400، 800، 1000)
- كؤوس بشر (40ml ،40ml) -
 - دورق مخروطي (1000ml)
 - فيلم المختبر
 - ورق ترشیح
 - قمع

2.3.II المواد

- حمض كلور الهيدروجين (37% HCl)
 - الماء المقطر
 - مسحوق أوراق العنب (الأحمر)

الفصل الثانى الدراسة التطبيقية

4.II تحضير العينات

1.4.II العينات

العينات المستعملة من "النحاس" (% 96.95)، النسب الوزنية موضحة في الجدول التالي:

الجدول (2.II): التركيب الكيميائي لعينات النحاس المستعملة

%Cu	%Fe	%Ni	%As	%Sb	%Pb	%Se	%Bi	%Te	%Zn	%Sn
96.95	0.8	0.7	0.4	0.4	0.2	0.2	0.1	0.1	0.1	0.05

الخصائص الميكانيكية للعينات المستعملة موضحة في الجدول التالي:

الجدول (3.II): الخصائص الميكانيكية لعينات النحاس المستعملة

المقاومة الكهربائية	حمولة الكسر	الإستطالة
$0.3514~\Omega/\mathrm{Km}$	235 N/mm ²	45%

2.4.II الصقل الميكانيكي

تتم عملية صقل العينات باستعمال جهاز الصقل الميكانيكي الموضح في الشكل (1.II) تحت تدفق الماء المقطر على الأوراق الكاشطة بداية ب: 80، 120، 400، 800 و1000.



الشكل (1.II): جهاز الصقل الميكانيكي

الفصـــل الثاني الدراسة التطبيقية

5.II تحضير المحاليل

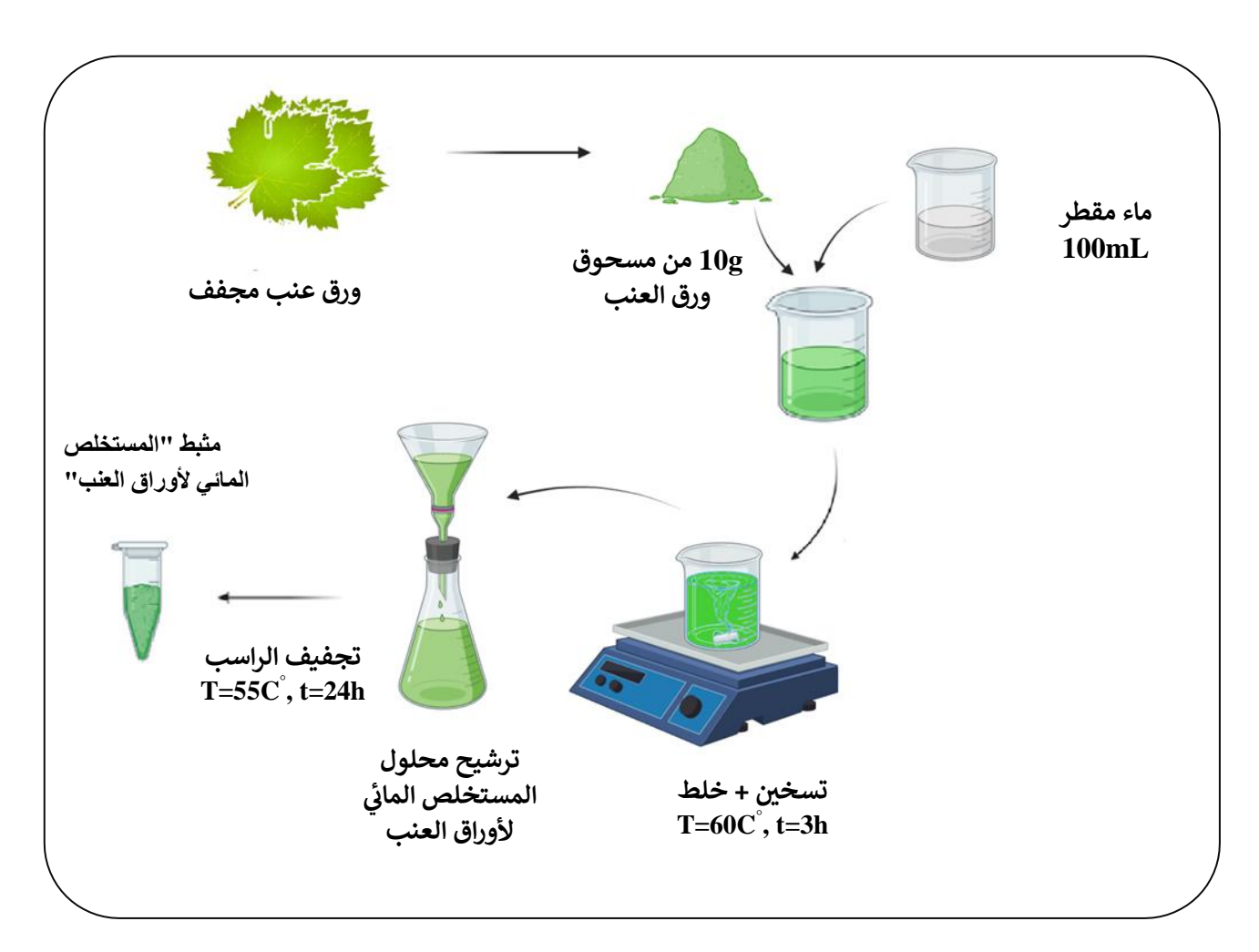
1.5.II تحضير وسط التآكل

قمنا بتخفيف حمض كلور الهيدروجين (HCl) بالماء المقطر للحصول على محلول حمض كلور الهيدروجين بتركيز: 1mol/L.

2.5.II تحضير المحلول المثبط

في البداية تم جمع الأوراق العنب (الأحمر) وتنظيفها وقطعت أعناق الأوراق ثم جففت في الظل ليتم طحنها بطاحونة كهربائية ونخلت لنزع القطع الكبيرة وغير المتجانسة.

يتم الحصول على المستخلص المائي لأوراق العنب من خلال إتباع الخطوات الموضحة في الشكل (2.II).



الشكل (2.II): مراحل تحضير المحلول المثبط (مستخلص مائي لأوراق العنب)

الفصل الثاني الدراسة التطبيقية

6.II التقنية المستعملة لدراسة معدل التآكل

1.6.II تقنية الكتلة الضائعة

تقنية الكتلة الضائعة، تقنية كلاسيكية تتميز بكونها بسيطة ولا تتطلب معدات كثيرة، حيث يتم تحديد قيمة الكتلة التي تفقدها العينة خلال زمن الغمر في وسط التآكل من خلال قياس كتلة العينة قبل وبعد الغمر.[11]

تم وزن العينات قبل الغمر ثم غمرها كل على حدا في محلول كلور الهيدروجين مع المثبط بتراكيز: 0، 0.2 ، 0.8 g/L ، 0.4 ، 0.2 ، 0.2 بتراكيز: 0.8 g/L ، 0.4 ، 0.2 ، 0.2 ند درجة حرارة الغرفة 0.8 واسطة طلاء يلعب دور العازل.

تم إزالة العينات من المحاليل بعد 24 ساعة من الغمر، وتم تنظيفها باستخدام فرشاة لإزالة منتجات التآكل، ثم تم غمرها في الأسيتون. أخيرًا، تم شطف العينات بالماء مقطر، وتجفيفها، ثم وزنها. ويتم دراسة تغيرات الضياع في الكتلة بدلالة زمن الغمر وبدلالة درجة الحرارة.

يتم حساب الضياع في الكتلة وفق المعادلة التالية:

$$\Delta m = m_1 - m_2 - \cdots - (1.II)$$

(g) (الكتلة الضائعة (الكتلة الضائعة Δm : حيث:

كتلة العينة قبل الغمر : m_1

كتلة العينة بعد الغمر: m_2

إنطلاقًا من التغير في الكتلة يمكننا حساب معدل التآكل وفق المعادلة التالية:

$$T_{corr} = \frac{\Delta m}{S \times t}$$
 (2.II)

 $(g/cm^2.h)$ معدل التآكل : T_{corr}

(g) التغير في الكتلة الكتلة التغير في الكتلة التغير في ال

 (cm^2) مساحة السطح المغمور S

(h) زمن الغمر t

الفصل الثانى الثاني الدراسة التطبيقية

يتم تحديد فعالية التثبيط (E%) من خلال حساب معدل التآكل في غياب المثبط ومع وجوده باستخدام المعادلة:

$$E\% = \frac{T_0 - T_{inh}}{T_0} \times 100 - \dots (3.II)$$

حيث: E%: فعالية التثبيط

 $(g/cm^2.h)$ معدل التآكل في غياب المثبط : T_0

 $(g/cm^2.h)$ معدل التآكل في وجود المثبط: T_{inh}

الفصل الثالث تحليل ومناقشة النتائج

الفصيل الثالث تحليل ومناقشة النتائج

1.III المقدمة

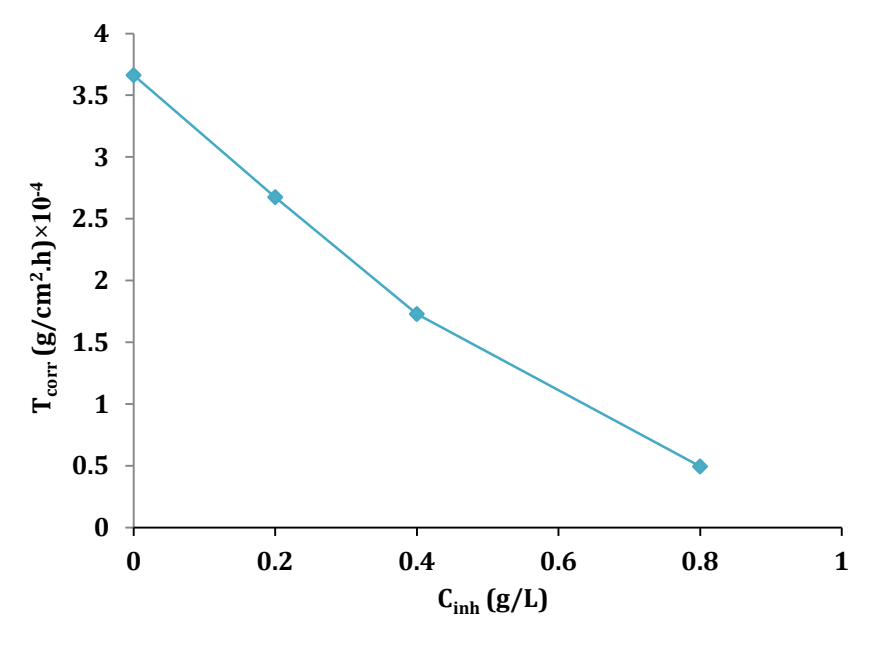
في هذا الفصل، سنقدم ونناقش الخصائص المثبطة وآلية إمتزاز المستخلص المائي لأوراق العنب على النحاس في محلول حمض الهيدروكلوريك من خلال النتائج المتحصل عليها. تم استخدام طريقة الكتلة الضائعة لدراسة تأثير عدة عوامل: تركيز المثبط، زمن الغمر ودرجة الحرارة. يتم عرض النتائج التي تم الحصول عليها في شكل جداول ورسوم بيانية.

2.III تأثير التركيز على فعالية التثبيط

تمت دراسة تأثير تركيز المثبط على معدل التآكل وفعالية التثبيط خلال 24 ساعة من زمن غمر العينة في وسط التآكل في غياب ووجود المثبط. النتائج المتحصل عليها مدرجة في الجدول أسفله:

الجدول (1.111): قياسات وتدالج تاثير التركير على معدل الناكل وقعالية التنبيط						
C _{inh} (g/l)	S (cm ²)	$\Delta \mathbf{m}(\mathbf{g})$	t(h)	T_{corr} (g/cm ² .h)	E(%)	
0	1.01265	0.0089	24	3.6620 10 ⁻⁴	/	
0.2	1.01265	0.0065	24	2.6745 10 ⁻⁴	26.9661	
0.4	1.01265	0.0042	24	1.7281 10 ⁻⁴	52.8088	
0.8	1.01265	0.0012	24	$0.4937 \ 10^{-4}$	86.5169	

الجدول (1.III): قياسات ونتائج تأثير التركيز على معدل التآكل وفعالية التثبيط



الشكل (1.III): منحنى تغيرات معدل التآكل النحاس في الوسط 1M HCL بدلالة تركيز المثبط (مستخلص نباتي لأوراق العنب)

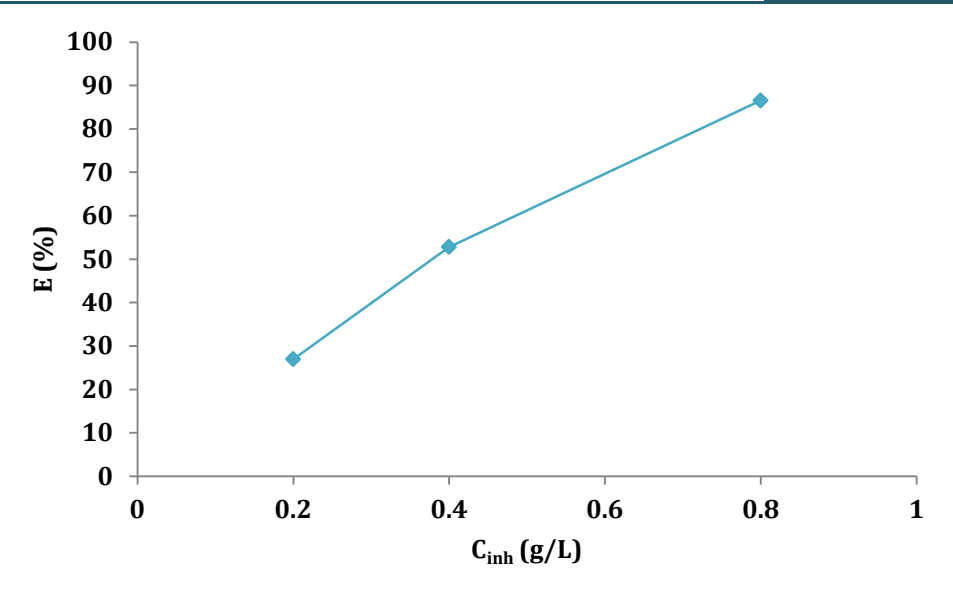
من خلال نتائج الجدول (1.III) ومنحنى تغيرات معدل تآكل النحاس في وسط 1M HCl بدلالة تركيز المثبط (مستخلص مائي لأوراق العنب) نجد تناقص في معدل التآكل مع الزيادة في التركيز.

الفصيل الثالث تحليل ومناقشة النتائج

 $3.662\ 10^{-4}$ قد بلغت $(C=0\ g/L)$ قد بلغت المثبط ($C=0\ g/L$) قد بلغت $(C=0\ g/L)$ قد بلغت $(C=0\ g/L)$ قد بلغت $(C=0\ g/L)$ قد بلغت $(C=0\ g/L)$ المستخلص وتصل قيمته إلى $(C=0\ g/L)$ عند إضافة $(C=0\ g/L)$ من المستخلص وتصل قيمته إلى القيمة: $(C=0\ g/L)$ من المستخلص وتصل قيمة له عند التركيز: $(C=0\ g/L)$ المستخلص التآكل أقل $(C=0\ g/L)$ عند التركيز: $(C=0\ g/L)$ عند التركيز عند التركيز: $(C=0\ g/L)$ عند التركيز عند

تثبيط تآكل النحاس في وسط 1M HCl يعود إلى إمتزاز جزيئات المستخلص المائي لأوراق العنب على سطح التلامس (النحاس/محلول HCl) وتشكل طبقة (فيلم) على سطح معدن النحاس مما يقلل من ذوبانية المعدن في الوسط الأكال.

يمكن تفسير مقاومة التآكل على سطح معدن النحاس بسبب امتزاز العناصر الكيميائية الفعالة للمستخلص المائي لأوراق العنب التي تشكل حاجزًا يفصل سطح المعدن عن الأنيونات النشطة في المحلول .HCl وبذلك تقل عملية التآكل، من خلال منع انتقال الكتلة والشحنة من سطح معدن النحاس إلى محلول المحلول علية التآكل،



الشكل (2.111): منحنى تغيرات فعالية المثبط بدلالة التركيز

يمثل الشكل (2.III) منحتى تغيرات فعالية التثبيط للمستخلص المائي لأوراق العنب بدلالة تركيزه، نلاحظ زيادة في فعالية التثبيط مع زيادة تركيز المستخلص المائي لأوراق العنب حيث تظهر عند أول C=0.4~g/L بنسبة C=0.2~g/L عند التركيز C=0.4~g/L بنسبة 0.8~g/L بنسبة 0.8~g/L بنسبة 0.8~g/L بنسبة 0.8~g/L وبلغت فعالية التثبيط أعلى قيمة عند التركيز 0.8~g/L بنسبة 0.8~g/L

المثبط يملك قدرة إمتزاز عالية على سطح معدن النحاس وبالتالي الزيادة في كفاءة التثبيط من خلال التقليل التفاعلات بين سطح معدن النحاس والأيونات المسببة للتآكل (Cl^{-}) مما يقلل بشكل كبير تفاعل التآكل.

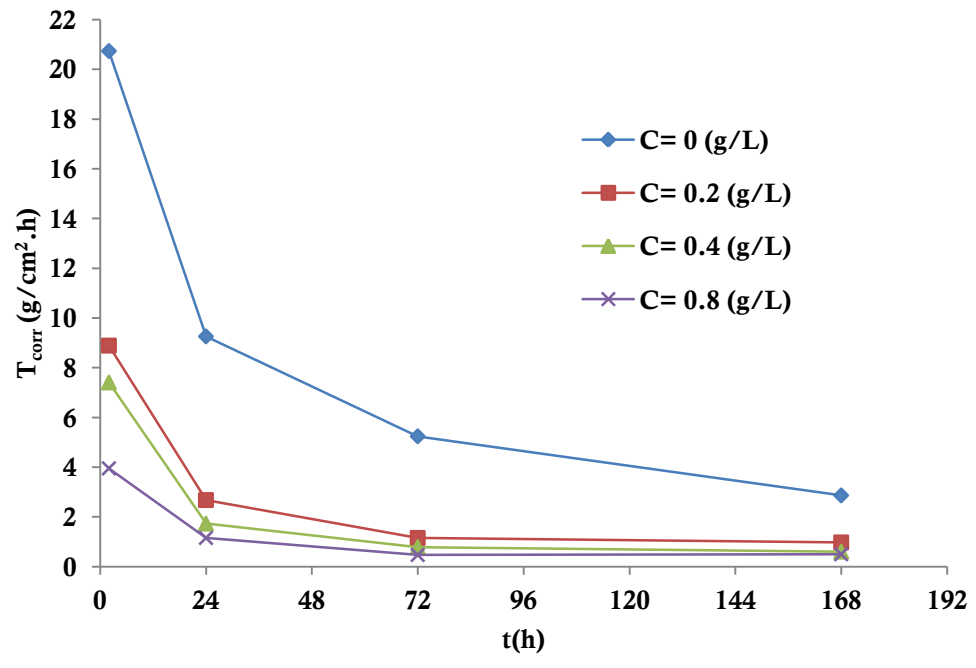
قد يعود ذلك إلى إمتزاز جزيئات المثبط على سطح معدن النحاس على شكل أيونات/ثنائيات أقطاب مشحونة سلبًا تتفاعل كهرستاتيكيًا مع سطح المعدن المشحون إيجابيًا، مما أدى إلى زيادة تغطية السطح وبالتالي حماية فعالة حتى في حالة التراكيز المنخفضة للمثبط.[32]

3.III تأثير زمن الغمر على فعالية التثبيط

تمت دراسة تأثير زمن الغمر على كل من معدل التآكل وفاعلية التثيط عند أربع تراكيز: $(0,0.2,0.4,0.8~\mathrm{g/L})$ في درجة حرارة الغرفة $(0,0.2,0.4,0.8~\mathrm{g/L})$

الجدول (2.III): قياسات ونتائج تأثير زمن الغمر على معدل التآكل وفعالية التثبيط

	C _{inh} (g/l)	t(h)	S(cm ²)	$\Delta \mathbf{m}(\mathbf{g})$	T corr (g/cm ² .h)	E(%)
HCl	0	2	1.01265	0,0042	20.7376 10 ⁻⁴	/
		24	1.01265	0,0225	$9.2578 \ 10^{-4}$	/
		72	1.01265	0,0382	$5.2392\ 10^{-4}$	/
		168	1.01265	0,0487	$2.8625 \ 10^{-4}$	/
	0.2	2	1.01265	0,0018	$8.8875 \ 10^{-4}$	57.1438
		24	1.01265	0,0065	$2.6745 \ 10^{-4}$	71.1111
		72	1.01265	0,0084	$1.1520 \ 10^{-4}$	78.0148
		168	1.01265	0,0165	$0.9698 \ 10^{-4}$	66.1191
	0.4	2	1.01265	0,0015	$7.4063 \ 10^{-4}$	64.2857
HCl+inh		24	1.01265	0,0042	$1.7281 \ 10^{-4}$	81.3333
		72	1.01265	0,0057	$0.7817 \ 10^{-4}$	85.0785
		168	1.01265	0,0102	$0.5995 \ 10^{-4}$	79.0554
	0.8	2	1.01265	0,0008	$3.9500\ 10^{-4}$	80.9523
		24	1.01265	0,0028	$1.1520 \ 10^{-4}$	87.5555
		72	1.01265	0,0034	$0.4663 \ 10^{-4}$	91.0994
		168	1.01265	0,0084	$0.4937 \ 10^{-4}$	82.7515



الشكل (3.III): منحنى تغيرات معدل تآكل النحاس في وجود وغياب المتبط (مستخلص أوراق الشكل (3.III)

الفصــل الثالث تحليل ومناقشة النتائج

من خلال النتائج المدرجة في الجدول أعلاه ومنحنى تغيرات معدل تآكل النحاس بدلالة الزمن في عناب المثبط (مستخلص مائي لأوراق العنب) في الوسط 1M HCl والشكل (C=0 g/L)، نلاحظ غياب المثبط (مستخلص مائي لأوراق العنب) في الوسط 10^{-4} (g/cm^2 .h) نلاحظ أن معدل التآكل بلغ ذروته خلال ساعتين بقيمة: $(g/cm^2$.h) $(g/cm^2$.h) يصل إلى القيمة: $(g/cm^2$.h) $(g/cm^2$.h) $(g/cm^2$.h

الشكل (3.III) : نلاحظ تناقص سريع في معدل تآكل النحاس في وجود المستخلص المائي الشكل (3.III) الشكل (24h من زمن الغمر. C=0.4 (g/L) وC=0.2 (g/L) بعد مرور C=0.2 الغمر.

من 24h بعد $2.6745~10^{-4}~(g/cm^2.h)$ بعد $2.8875~10^{-4}~(g/cm^2.h)$ من C=0.2~(g/L)

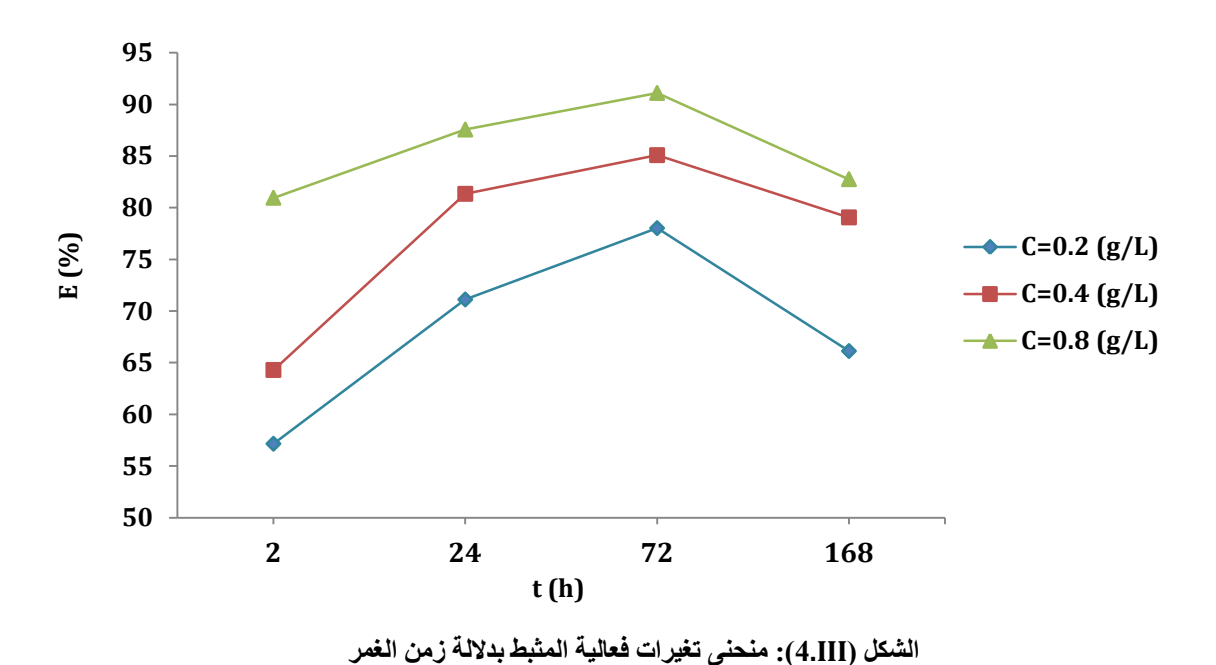
من $7.4063 \ 10^{-4} \ (g/cm^2.h)$ بعد $1.7281 \ 10^{-4} \ (g/cm^2.h)$ بعد $1.7281 \ 10^{-4} \ (g/cm^2.h)$ بعد $1.7281 \ 0.04 \ (g/L)$

مقارنة C=0.8~(g/L) بينما نلاحظ تناقص معتبر في معدل تآكل النحاس بالنسبة للتركيز C=0.8~(g/L) مقارنة C=0.8~(g/L) بالتركيزين السابقين، من C=0.8~(g/C) عند C=0.8~(g/C) عند C=0.8~(g/C) عند C=0.8~(g/C) عند C=0.8~(g/C) عند C=0.8~(g/C) عند C=0.8~(g/C) بالتركيزين السابقين، من C=0.8~(g/C) عند C=0.8~(g/C) عند C=0.8~(g/C) بالتركيزين السابقين، من C=0.8~(g/C) عند C=0.8~(g/C) عند C=0.8~(g/C) بالتركيزين السابقين، من C=0.8~(g/C)

بعد مرور 72h من زمن الغمر نلاحظ تباطؤ في تناقص معدل التآكل بالنسبة للتراكيز الثلاثة مع مرور الزمن.

نفسر تناقص معدل التآكل في غياب المثبط (المستخلص المائي لأوراق العنب) بأنه في البداية يكون سطح النحاس نشطًا تجاه وسط التآكل مما ينتج عنه زيادة في معدل التآكل، وبمرور الزمن تتشكل طبقة من مخلفات التآكل على سطح معدن النحاس (طبقة واقية طبيعية) التي تعيق إستمرار عملية التآكل فتتناقص معدل التآكل، تعرف هذه الظاهرة بظاهرة "الخمود".

يعود التناقص في معدل تآكل النحاس مع الزيادة في تركيز المثبط إلى تحسين تغطية السطح من خلال إمتزاز المكونات النباتية لمستخلص أوراق العنب على سطح النحاس خاصة في المناطق النشطة. وذلك يفسر إرتفاع نسبة كفاءة التثبيط مع إرتفاع تركيز المثبط.



يقابل الإنخفاض في معدل التآكل لمعدن النحاس الشكل (3.III)، إرتفاعٌ ملحوظٌ في فعالية التثبيط للمستخلص المائي لأوراق العنب الموضح في الشكل (4.III). حيث نلاحظ زيادة سريعة في الفعالية بالنسبة للتركيزين:

C=0.2~(g/L) بالنسبة للتركيز (24h) 57.14% (2h) من C=0.4~(g/L) بالنسبة للتركيز 81.33% (24h) إلى 64.28% (2h) من (24h) 87.55% (24h) بينما نلاحظ زيادة معتبرة بالنسبة للتركيز C=0.8~(g/L) من C=0.8~(g/L) إلى C=0.8~(g/L)

وتبلغ فعالية تثبيط المستخلص أعلى نسبة لها عند 72h في التراكيز الثلاثة:

$$C=0.2 (g/L) \rightarrow E= 78 \%$$

$$C=0.4 (g/L) \rightarrow E= 85 \%$$

$$C=0.8 (g/L) \rightarrow E=91 \%$$

وبعد مرور 72h نلاحظ تراجع في فعالية التثبيط للمستخلص بالنسبة للتراكيز الثلاثة:

$$C=0.2 (g/L) \rightarrow E=66 \%$$

$$C=0.4 (g/L) \rightarrow E=79 \%$$

$$C=0.8 (g/L) \rightarrow E=82 \%$$

تزداد فعالية المستخلص المائي لأوراق العنب مع ارتفاع تركيز المستخلص نتيجة لمزيد من التلامس السطحي الذي يزيد من إمتزار المثبط وبالتالي تغطية أفضل لسطح معدن النحاس خاصة في المناطق النشطة من خلال تشكل مركب وسطي (المثبط-النحاس) فتظهر طبقة حماية على السطح مما يقلل معدل تآكل سطح المعدن.

يمكن أن نفسر الإنخفاض في فعالية التثبيط عند t=168h بتفتت طبقة الحماية المتشكلة على سطح معدن النحاس بسبب زيادة السمك.أو بتعفن المحلول لأنه يحتوي على مركبات عضوية.

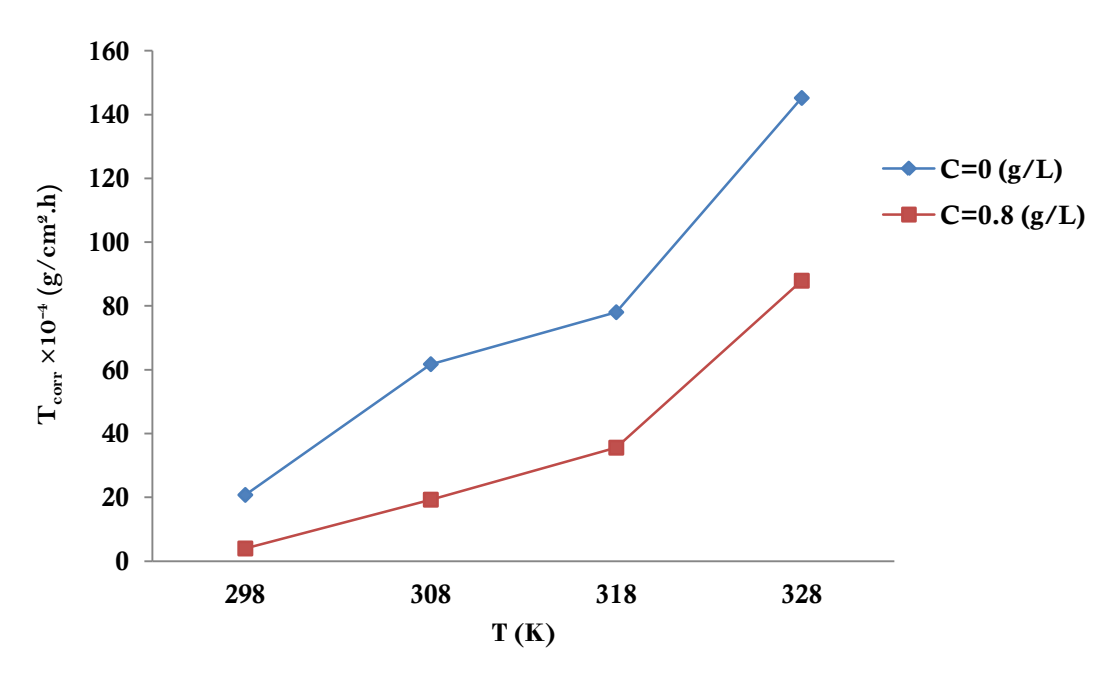
4.III تأثير درجة الحرارة على فعالية التثبيط

تمت دراسة تأثير درجة الحرارة من 298 إلى 328 على فعالية المستخلص المائي لأوراق C=0.8~(g/L) باستعمال تركيز: C=0.8~(g/L) في زمن غمر قدره C=0.8~(g/L) غمر قدره C=0.8~(g/L)

الجدول (3.III): قياسات ونتائج تأثير درجة الحرارة على معدل التآكل وفعالية التثبيط

	C _{inh} (g/l)	T(k)	S(cm ²)	$\Delta \mathbf{m}(\mathbf{g})$	T _{corr} (g/cm ² .h)	E(%)
HCl	0	298	1.01265	0,0042	$20.7376 \ 10^{-4}$	/
		308	1.01265	0,0125	61.7192 10 ⁻⁴	/
		318	1.01265	0,0158	78.0131 10 ⁻⁴	/
		328	1.01265	0,0294	145.1636 10 ⁻⁴	/
HCl+i nh	0.8	298	1.01265	0,0008	3.9500 10 ⁻⁴	80.9524
		308	1.01265	0,0039	19.2564 10 ⁻⁴	68.7999
		318	1.01265	0,0072	35.5502 10 ⁻⁴	54.4304
		328	1.01265	0,0178	87.8882 10 ⁻⁴	39.4557

الفصـــل الثالث تحليل ومناقشة النتائج



الشكل (5.III): منحنى تغيرات معدل تآكل النحاس في وسط 1M HCl في وجود وغياب المثبط بدلالة درجة الحرارة

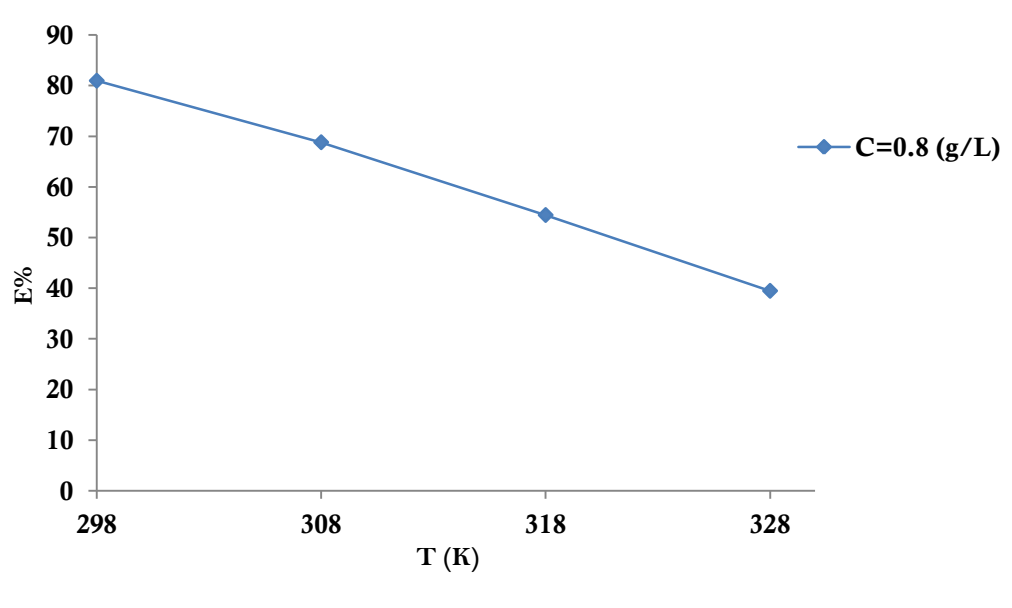
من خلال النتائج المدرجة في الجدول (3.III) والمنحنى البياني لتغيرات معدل التآكل النحاس في الوسط 1M HCl في وجود وغياب المثبط (مستخلص مائي لأوراق العنب) بدلالة درجة الحرارة.

نلاحظ إرتفاع سريع في معدل التآكل في غياب المثبط مع إرتفاع درجة الحرارة، ويزداد هذا الإرتفاع عند درجة T=318K عند درجة الحرارة: T=318K عند درجة حرارة 328K.

كما نلاحظ إرتفاع بطيء نوعًا ما في معدل التآكل مع وجود المثبط (مستخلص مائي لأوراق العنب) كما نلاحظ إرتفاع بطيء نوعًا ما في معدل التآكل في وجود المثبط أقل منها في غيابه حيث قيم العنب) ويجدر بالذكر أن قيم معدل التآكل في وجود المثبط: T=298K عند T=298K عند التآكل في وجود المثبط: T=308K عند التوالي بينما في غياب المثبط كانت: T=308K و T=308K عند نفس درجات الحرارة.

7-87.8882 الإرتفاع بعد درجة الحرارة: T=318 حيث تصل قيمته إلى: T=318 87.8882 وتزداد معدل الإرتفاع بعد درجة الحرارة $(g/cm^2.h)$

بشكل عام يمكن القول بأن إرتفاع درجة الحرارة يتسبب في زيادة معدل التآكل في غياب ووجود المثبط.



الشكل (6.111): منحنى تغيرات فعالية التثبيط بدلالة درجة الحرارة

يقابل الإرتفاع في معدل التآكل مع وجود المثبط (C=0.8 g/L)، إنخفاضٌ في فعالية التثبيط مع إرتفاع درجة الحرارة موضح في الشكل (6.III)، حيث سجلت فعالية التثبيط أعلى قيمة لها قدرت بـ: T=298 K عند رجة حرارة T=298 K عند رجة الحرارة وتصل إلى: T=298 K عند درجة الحرارة T=298 K.

يمكن تفسير الإنخفاض في فعالية التثبيط بأن الإرتفاع في درجة الحرارة (أكبر من 25C°) يتسبب في تفكيك الروابط بين المثبط (المستخلص المائي لأوراق العنب) والسطح الماز لمعدن النحاس هذا ما يسمى بالعملية العكسية للإمتزاز ويشير هذا إلى أن الإمتزاز "فيزيائي".

بتفكك الروابط بين المثبط وسطح النحاس يعود تفاعل التآكل بين سطح النحاس والوسط الأكال (حمض الهيدروكلوريك) ونلاحظ ذلك من خلال إرتفاع معدل التآكل \mathbf{T}_{corr} في وجود المثبط (المستخلص المائي لأوراق العنب).

كما أن الإرتفاع في درجة الحرارة يؤثر على إنزيمات المركبات العضوية في المستخلص المائي الأوراق العنب، حيث أن الإنزيمات هي المسؤولة عن عملية التثبيت.

الفصــل الثالث تحليل ومناقشة النتائج

5.III دراسة الترموديناميكية

1.5.III تحديد طاقات التنشيط

من خلال دراسة تأثير درجة الحرارة على تاكل النحاس في 1M HCl من: X 188 الى 335 X من خلال دراسة تأثير درجة الحرارة على تاكل النحاس في 1M HCl من تم تحديد قيم طاقة التنشيط في غياب و وجود المثبط ومقارنتهم معاً بالاضافة لقيم الانتالي التنشيط ΔS_a^0 في غياب و وجود المثبط، وباستخدام الرسم البياني لمعادلة "Arrhenius" محساب طاقة التنشيط ΔS_a^0 من المعادلة (1.III) باعتماد على معدل التآكل.

$$Log(T_{corr}) = \frac{-E_a}{2.303.RT} + Log(A)_{----}$$
 (1. III)

حیث:

يمثل معدل التآكل: T_{corr}

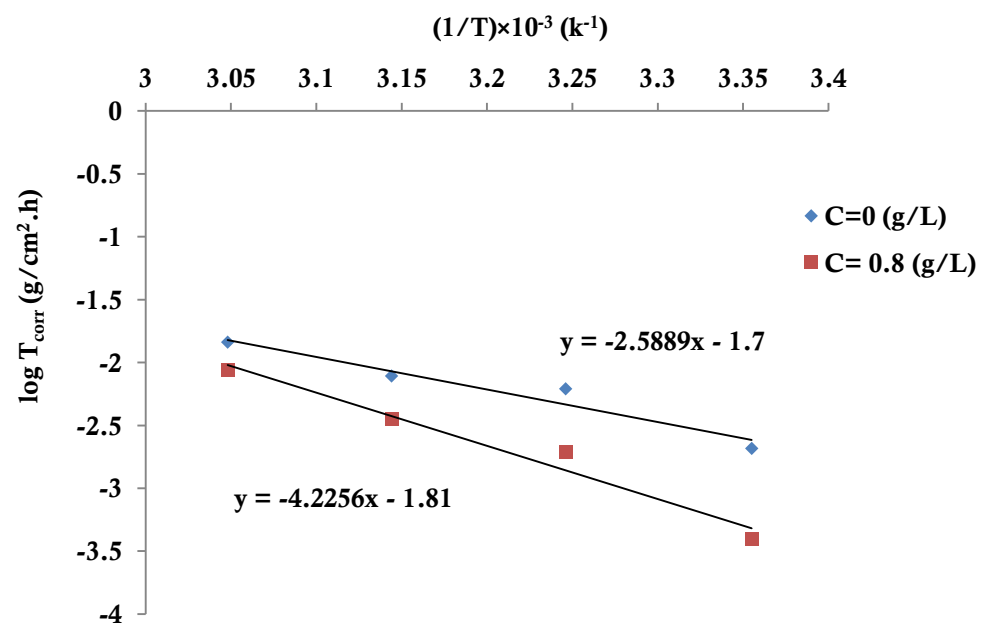
R : يمثل ثابت العام للغازات (8.314J/mol.K)

T : درجة الحرارة المطلقة ب (K)

A: معامل التردد

تمثل طاقة التنشيط : E_a

برسم قيم $\log T_{corr}$ بدلالة (1/T) كما هو موضح في المنحنى (III. 7) نتحصل على خط $\log(A)$ مستقيم ميله يمثل: $\left(\frac{-E_a}{2.303.R}\right)$ والتقاطع مع محور التراتيب يمثل: $\left(\frac{-E_a}{2.303.R}\right)$



الشكل (7.III): منحنى Arrhenius لمعدل تآكل النحاس في وسط 1M HCl بوجود وغياب المثبط (مستخلص ماني لأوراق العنب) بدلالة (1/T)

الفصل الثالث تحليل ومناقشة النتائج

 ΔS_a^0 من المعادلة (2. III) تحدد قيم انتالبي التنشيط ΔH_a^0 وانتروبي التنشيط ΔS_a^0 للنحاس في HCl في غياب ووجود المثبط.

$$Log\left(\frac{T_{corr}}{T}\right) = -\frac{\Delta H_a^0}{2.303RT} + \frac{\Delta S_a^0}{2.303R} + Log\left(\frac{R}{N_A h}\right)_{------}$$
(2. III)

حيث:

 $(6.02 ext{mol}^{-1} imes 10^{23})$ عدد افوكادرو: N_A

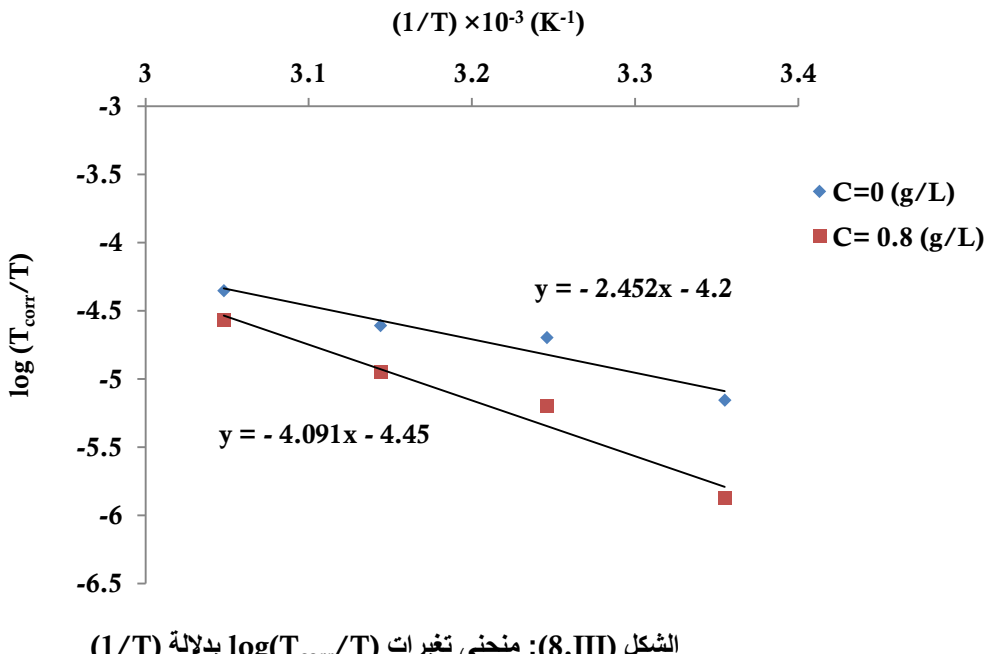
 $(6.63 \times 10^{-34} \text{ JS})$ ثابت بلانك : h

انتالبی التنشیط : $\Delta {
m H}_a^0$

الانتروبي التنشيط $\Delta \mathsf{S}_a^0$

من خلال الرسم البياني (8. III) لقيم $\log\left(\frac{T_{corr}}{T}\right)$ بدلالة (1/T) نتحصل على خط مستقيم من خلال الرسم البياني (8. III) لقيم $\frac{\Delta S_a^0}{2.303R} + \log\left(\frac{R}{N_A h}\right)$ والتقاطع مع محور التراتيب يمثل: $\left(-\frac{\Delta H_a^0}{2.303R}\right)$

تحليل ومناقشة النتائج الفصيل الثالث



الشكل (8.III): منحنى تغيرات (T_{corr}/T) بدلالة (1/T)

استنادًا إلى علاقة "Arrhenius" ومن خلال الشكل (6.III) والشكل (7.III) تم تحديد قيم (4. III) وحساب كل من انتالبي التنشيط ΔH^0_a والأنتروبي التنشيط في النتائج في الجدول Ξ_a

الجدول (4. III): قيم كل من $\Delta {
m K_a}^0$ ، E_a و $\Delta {
m H_a}^0$ ، البحدول (4. III) الجدول المثبط (المستخلص المائي لأوراق العنب)

C (g/l)	$E_a(kJ.mol^{-1})$	$\Delta H_a^{0}(kJ.mol^{-1})$	$\Delta S_a^{0}(KJ.mol^{-1}.k^{-1})$
0	49,548	46,945	- 0.277
0.8	80 ,90	78,27	- 0.282

 \mathbf{E}_{a} من خلال النتائج المتحصل عليها والمدرجة في الجدول (4.III) نجد أن طاقة التنشيط كانت أكبر في وجود المثبط وهذا يشير إلى أن إمتزاز المثبط (المستخلص المائي لأوراق العنب) على سطح النحاس إمتزاز "فيزبائي". [28]

نلاحظ أن: $\mathbf{E_a} > \Delta \mathbf{H_a}^0$ يمكن القول أن عملية تآكل النحاس تتضمن تفاعلات غازية (تفاعل تطور الهيدروجين يمعني إنتاج غاز الهيدروجين).

أونتالبي النتشيط ΔS_a^0 للنظام إشارته سالبة في غياب و في وجود المثبط يدل هذا على أن النظام يميل أكثر إلى الإستقرار، بمعنى أن المركب الوسطى (المثبط- النحاس) ينتج عن عملية إرتباط.

2.5.III أنواع متساوي الحرارة

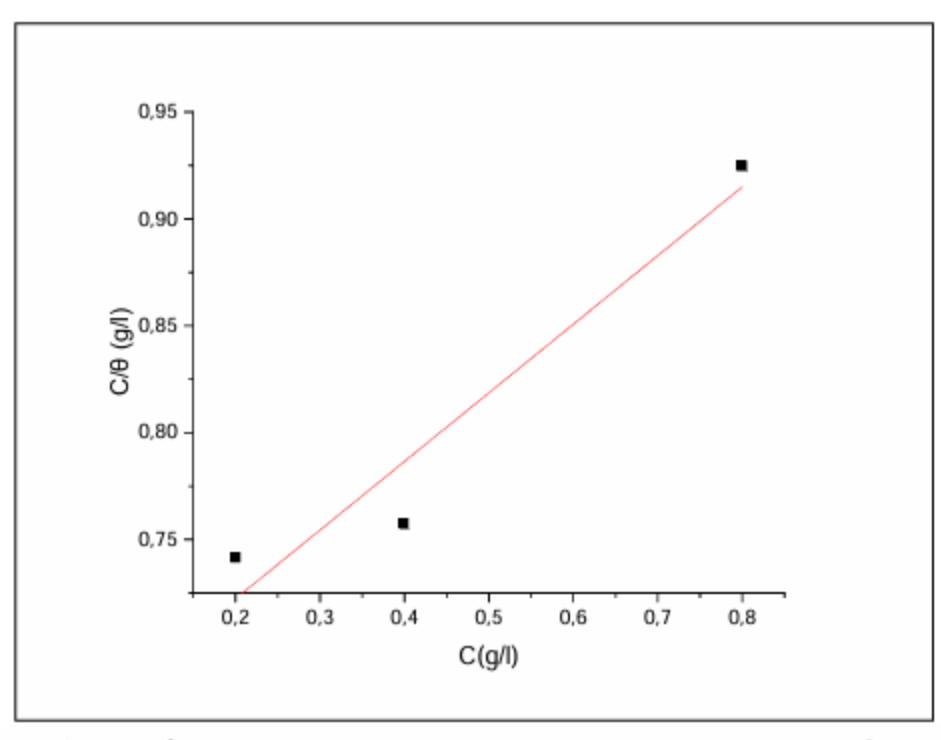
تعد دراسة متساوي درجة الحرارة في الامتزاز أمرًا بالغ الأهمية لفهم آليات تثبيط التآكل ومن أجل الحصول على نموذج متساوي الحرارة الأكثر ملائمة للمثبط، قمنا برسم نماذج متساوي الحرارة لمختلف الامتزاز باستخدام معادلاتها الرياضية. الجدول (4.II)

تعتبر بيانات التغطية السطحية (θ) مفيدة جدًا في مناقشة خصائص الامتزاز كما هو موضح في الجدول (النحاس) أي المثبط على سطح المعدن المستخدم (النحاس) أي طبيعة التفاعل الحاصل بين سطح النحاس والمثبط تم الإعتماد على معادلات متساوي الحرارة .

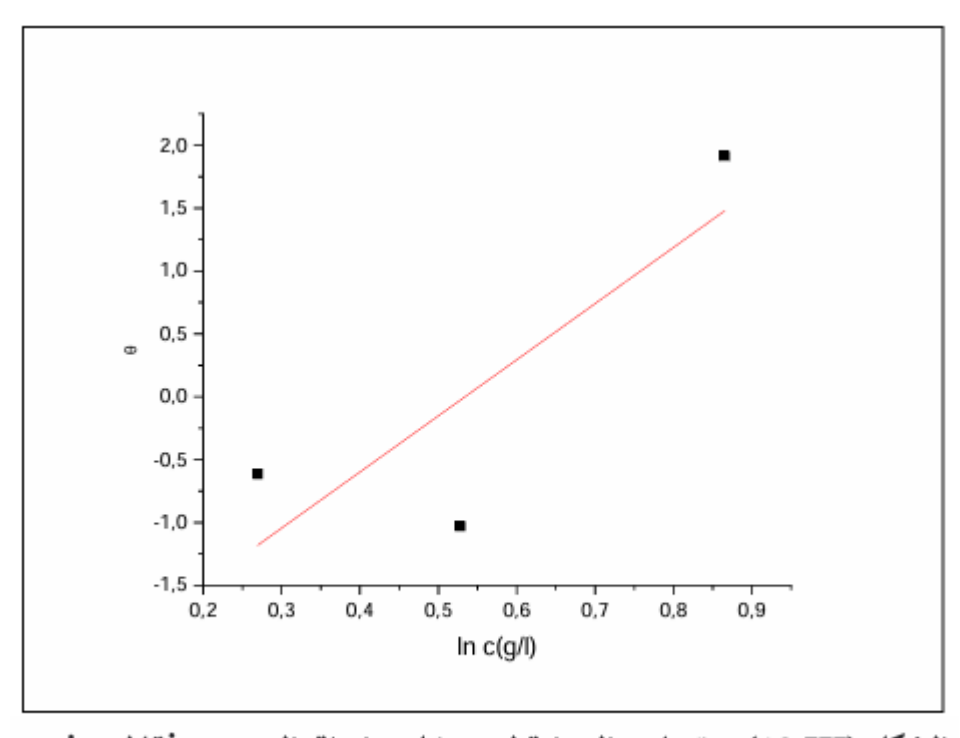
$$\theta = \frac{E\%}{100}$$
 (3. III)

 $C_{inh}\left(g/L\right)$ الجدول (5.III) بدلالة تركيز المثبط الجدول

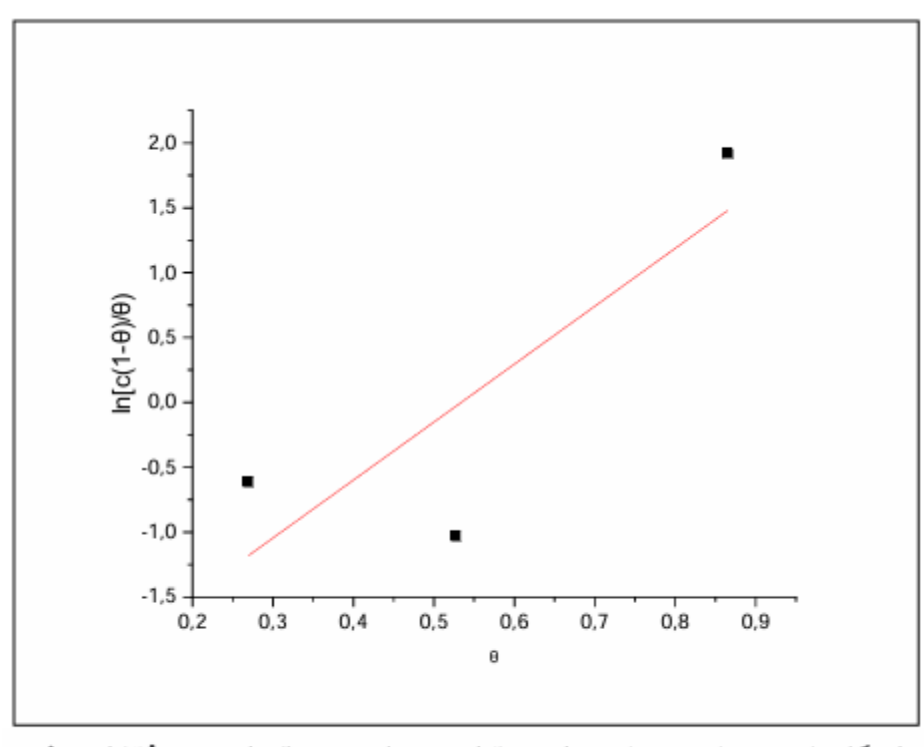
C _{inh} (g/l)	θ	
0.2	0.269	
0 .4	0.528	
8.0	0.865	



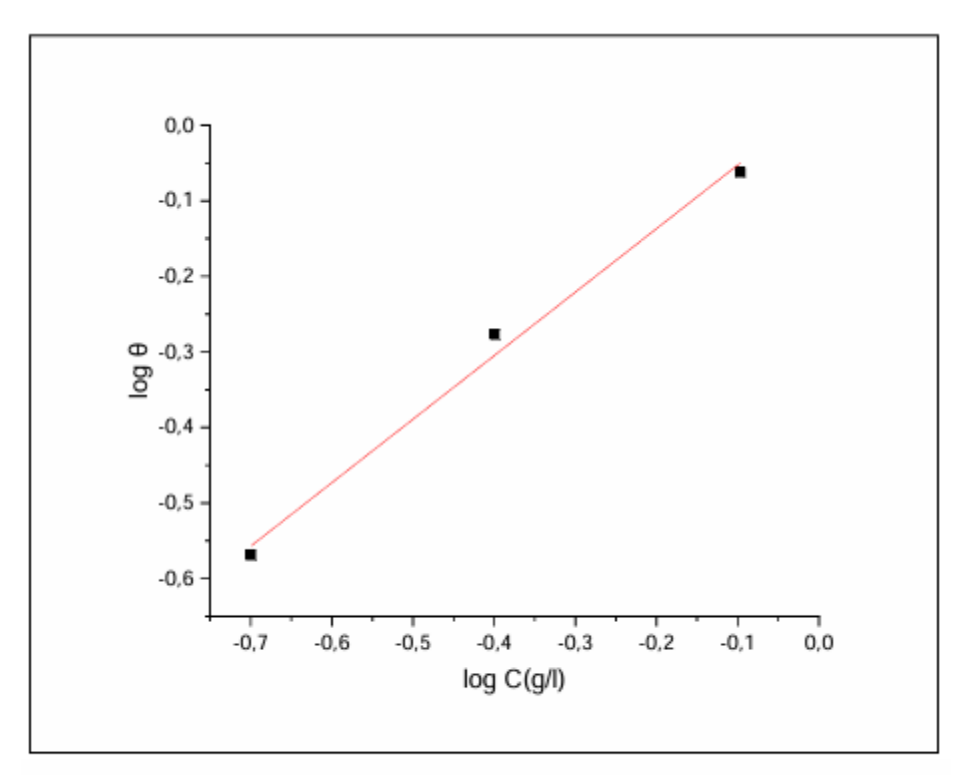
الشكل (9.III): متساوي الحرارة لمستخلص اوراق العنب وفقا لنموذج langmuir



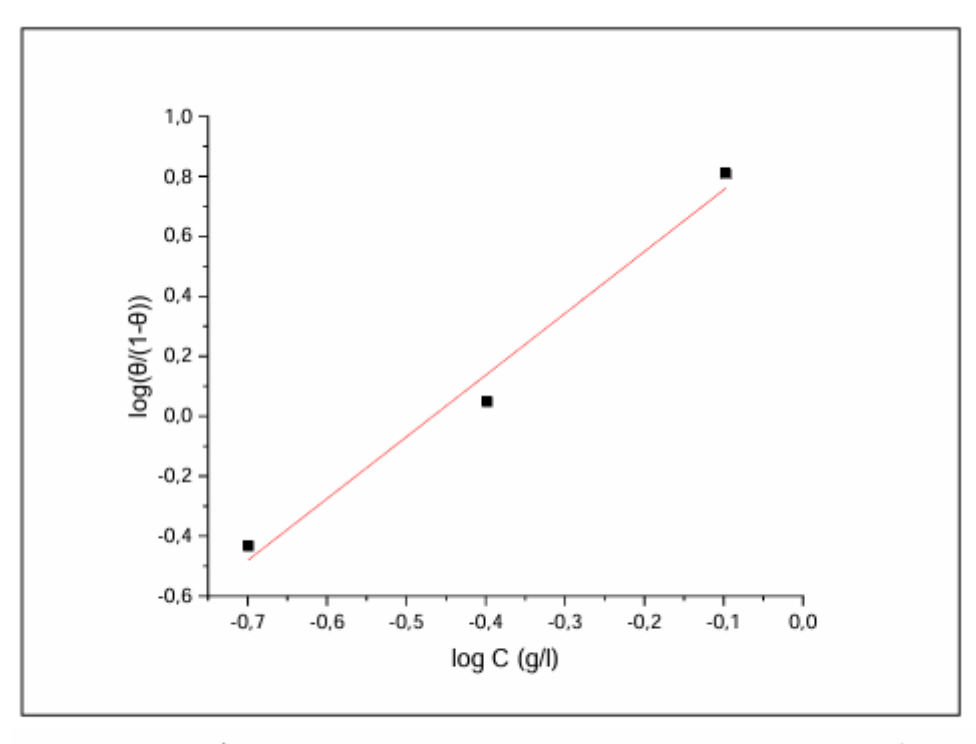
الشكل (10.III): متساوي الحرارة لمستخلص اوراق العنب ووفقا لنموذج Temkin



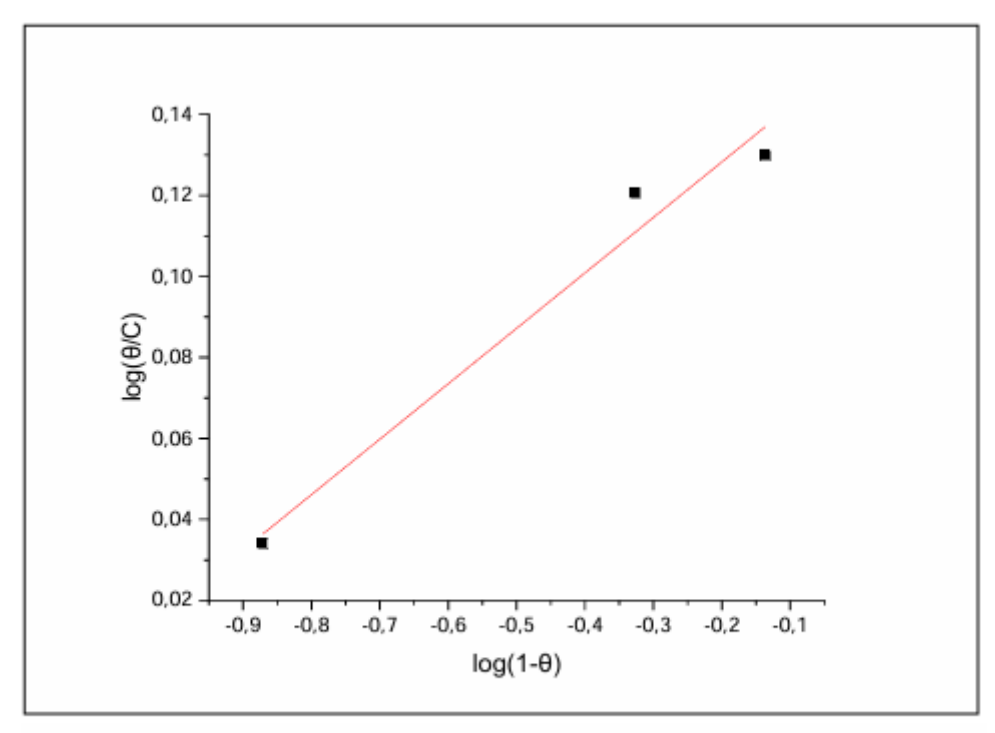
الشكل (11.III): متساوي الحرارة لمستخلص اوراق العنب وفقا لنموذج Frumkin



الشكل (12.III): متساوي امتصاص مستخلص اوراق العنب وفقا لنموذج Freundlich



الشكل (13.III): متساوي امتصاص مستخلص اوراق العنب وفقا لنموذج -El Alwado



الشكل (14.III): متساوي امتصاص مستخلص اوراق العنب وفقا لنموذج Flory-Huggins

الفصيل الثالث تحليل ومناقشة النتائج

انطلاقًا من المنحنيات السابقة تم استخراج الميل (\mathbf{R}^2) لكل معادلة متساوي الحرارة وتوضح هذه النتائج في الجدول (6.III).

الجدول(6.III): قيم معامل الإرتباط (الميل) لجميع معادلات متساوي الحرارة

R ²	نموذج متساوي الحرارة
0,936	Langmuir
0,94	Temkin
0,701	Frumkin
0,992	Freundlich
0,983	El-Alwado
0,96	Flory-Huggins

بعد رسم متساوي الحرارة: , Freundlich بعد رسم متساوي الحرارة: , Freundlich الخترنا متساوي الحرارة (الجدول 6.III) ، اخترنا متساوي الحرارة Flory-Huggins والتي لها معاملات الانحدار (الجدول مقارنة بمتساوي الحرارة للنماذج الأخرى.

أما فيما يخص إختلاف قيمة الميل R^2 عن الوحدة يمكن تفسير ذلك بسبب التغيرات في حرارة الامتزاز وتغطية السطح، أو يمكن تفسير اقتراب قيمة الميل من الواحد إلى التداخل ابين مكونات المثبط الممتز و أن امتزاز المثبط على سطح المعدن من المحتمل ان يتكون من أكثر طبقة.

استنادًا على معادلة (Freundlich (8. II) نستخرج قيمة ثابت اتزان الامتزاز

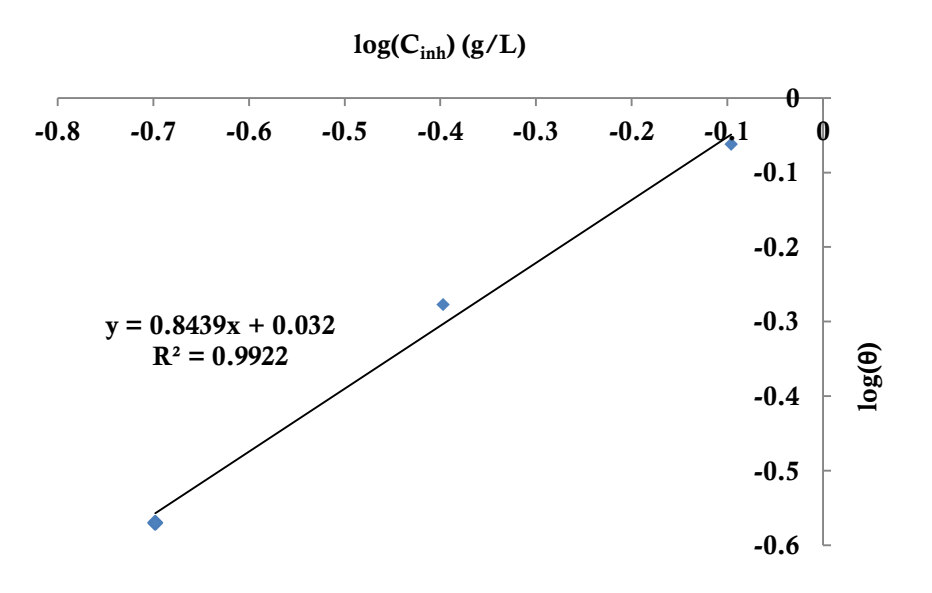
حیث:

(g/L) التركيزالمثبط : C_{inh}

ثابت التوازن لعملية الإمتزاز : K_{ads}

n عند رسم $\log(C_{inh})$ بدلالة $\log(C_{inh})$ الشكل $\log(C_{inh})$ نتحصل على خط مستقيم ميله يمثل ΔG_{ads}^0 ومنه تحسب قيمة عيمة ثابت الإتزان لمعدل الإمتزاز يمكن حساب طاقة جيبس K_{ads} حيث تمسح هذه الأخيرة من تحديد نوع التفاعل الحاصل بين جزئيات المثبط وسطح المعدن إما عن طريق تفاعلات كهروستاتكية أو تفاعلات كميائية أو مختلطة.

الفصــل الثالث تحليل ومناقشة النتائج



 $\log(C_{inh})$ بدلالة (15.III): منحنى تغيرات الشكل

. $\Delta G_{
m ads}^0$ على معادلة (5. الله) فيمة وإعتمادًا على معادلة

$$\Delta G_{ads}^{0} = -RT \operatorname{Ln} (1134 k_{abs})_{----} (5.III)$$

حىث:

ابت التوازن لعملية الامتزاز: K_{ads}

 $(8.314 J.k^{-1}.Mol^{-1})$ ثابت معامل الغازات : R

T : درجة الحرارة المطلقة (K)

نوضح في جدول (7.III) القيم المتحصل عليها لكل من ثابت توازن الإمتزاز وطاقة جييس المواقفة لها لكل التراكيز.

Freundlich و ثابت توازن الامتزاز $\mathbf{K}_{\mathrm{ads}}$ الجميع التراكيز حسب نموذج $\mathbf{\Lambda G}^0$ و ثابت توازن الامتزاز $\mathbf{\Lambda G}^0$ الجميع التراكيز حسب نموذج

C (g/l)	K _{a ds} (l/g)	∆G° _{a ds} (k J /mol)
0	1.046	-17.529
0.4	1.144	-17.759
0.8	1.044	-17.532

الفصيل الثالث تحليل ومناقشة النتائج

معامات الإمتزاز الديناميكي الحراري 3.5.III

إن رسم منحنى تغطية السطح بدلالة تركيز المثبط وحده ليس كافي لوصف عملية الامتزاز لذلك يجب معرفة معامات الإمتزاز الديناميكي الحراري.

إستنادًا إلى معادلة (Freundlich (8. I) نحسب قيم ثابت اتزان الامتزاز Freundlich (8. I) الموافقة للتركيز $0.8\,\mathrm{g/L}$ عند درجات الحرارة: $298،308،318،328\,\mathrm{K}$. النتائج موضحة في الجدول التالي:

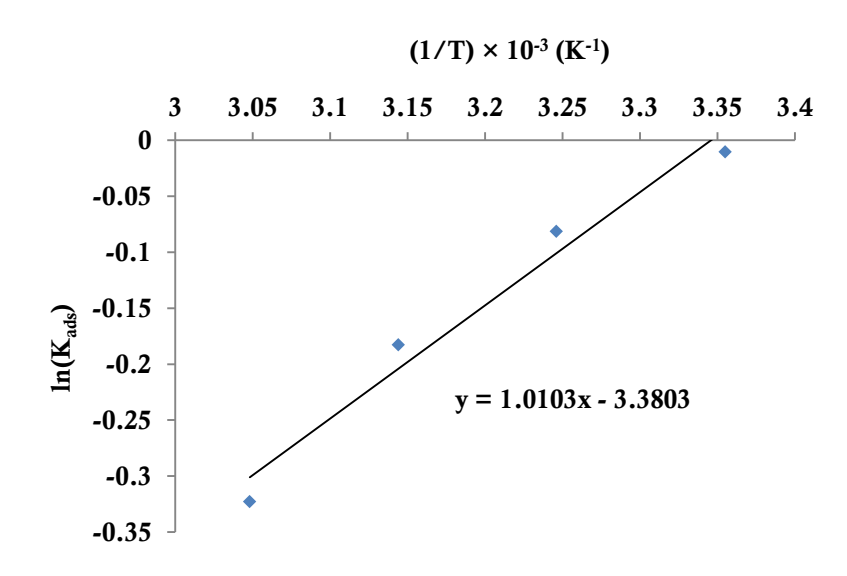
الجدول (8.III): قيم ثابت الإمتزاز $\mathbf{k}_{\mathrm{ads}}$ عند تغيرات درجة الحرارة

C(g/l)	T (K)	K _{ads} (l/g)	
	298	0.976	
	308	0.829	
0.8	318	0.656	
	328	0.475	

باستخدام معادلة (ΔH^0_{ads}) يمكن حساب الانتالبي للإمتزاز Van't Hoff:

$$\frac{dln(K_{ads})}{dT} = \frac{\Delta H_{ads}^0}{RT^2} - \dots$$
 (6.III)

إن المنحنى البياني لـ: $\ln(K_{ads})$ بدلالة مقلوب درجة الحرارة (1/T) هو خط مستقيم ميله: $\ln(K_{ads})$ الشكل ($\Delta H^0_{ads}/R$).



الشكل (16.III): منحنى تغيرات (ln(K_{ads}) بدلالة (1/T)

الفصــل الثالث تحليل ومناقشة النتائج

توفر إشارة ΔH_{ads}^0 معلومات حول آلية الإمتزاز حيث: تشير القيمة السالبة إلى أن عملية الإمتزاز طاردة للحرارة، وفي هذه الحالة قد يكون الإمتزاز فيزيائي أو كيميائي أو مختلط. في حين أن القيمة الموجبة تشير إلى أن العملية ماصة للحرارة والإمتزاز هنا كيميائي.

يمكن التمييز بين الإمتزاز الفيزيائي والكيميائي حسب قيمة ΔH_{ads}^0 حيث: [17]

يائى". (kJ. $mol^{-1})$ فإن الإمزاز "فيزيائى". إذا كان:

."إذا كان: (kJ. mol $^{-1}$) فإن الإمتزاز كيميائي.

يتم حساب أونتروبي الإمتزاز $\Delta S^0_{
m ads}$ بالإعتماد على المعادلة الأساسية للديناميكية الحرارية:[17]

$$\Delta G_{ads}^{0} = \Delta H_{ads}^{0} - T \, \Delta S_{ads-----}^{0}$$
(7.III)

تجمع قيم معاملات الإمتزاز الديناميكي الحراري في الجدول التالي:

الجدول (9.III): قيم معامات الإمتزاز الديناميكي الحراري للمستخلص المائي لأوراق العنب في 1M HCl بدلالة تغيرات درجة الحرارة

C (g/l)	T(K)	k _{ads} (l/g)	$\Delta G_{ads}^{0}(KJ.mol^{-1})$	$\Delta H_{ads}^{0}(KJ.mol^{-1})$	$\Delta S_{ads}^{0}(kJ.mol^{-1}.k^{-1})$
	298	0.976	-17.365		8.966
0.8	308	0.829	-17.530	9.200	9.131
	318	0.656	-17.480	- 8.399	9.081
	328	0.475	-17.150		8.751

قيم $\mathbf{k}_{
m ads}$ صغيرة نسبيًا وتتغير بالنقصان مع إرتفاع درجة الحرارة.

تشير الإشارة السالبة لتغير طاقة "جيبس" $\Delta G_{
m ads}^0$ إلى أن إمتزاز المركبات الفينولية في المستخلص المائي لأوراق العنب على سطح معدن النحاس عملية تلقائية. [23,9]

 يلاحظ أن إشارة الأونتاليي ΔH_{ads}^0 السالبة وهي تدل على أن عملية الإمتزاز طاردة للحرارة.

قيمة الأنتروبي ΔS_{ads}^0 موجبة وتتزايد عند زيادة درجة الحرارة من ΔS_{ads}^0 إلى ΔS_{ads}^0 ثم تتناقص مع إستمرار إرتفاع درجة الحرارة.

[Sélectionnez la date]

كرس هذا العمل لدراسة فعالية "مستخلص مائي لأوراق العنب" كمثبط لحماية النحاس من التآكل في محلول حمضي (حمض الهيدروكلوريك)، تمت الدراسة حسب طريقة الكتلة الضائعة بإضافة تركيزات مختلفة من المثبط.

- سمحت لنا الدراسة التي أجريناها باستنتاج ما يلي:
- ✓ الضياع في الكتلة يتناقص مع زيادة تركيز المثبط (مستخلص مائي لأوراق العنب).
- √ زيادة تركيز المثبط تؤدي إلى انخفاض معدلات التآكل. يشير هذا إلى أن "مستخلص أوراق العنب" يثبط تآكل النحاس في الوسط الحمضي بسبب إمتزاز المجموعات القطبية الفينولية على سطح المعد في المناطق النشطة.
 - ✓ تزداد كفاءة التثبيط مع زيادة تركيز المثبط.
- ربمقارنة قيم فعالية التثبيط وُجد أن الفعالية المثبطة لـ "مستخلص أوراق العنب"على النحاس في محلول حمض الهيدروكلوريك تصل إلى قيمة قصوى تبلغ 91% عند تركيز 91% من المستخلص خلال زمن 91% في درجة حرارة 91% درجة حرارة 91%
 - ✓ زيادة معدل تآكل النحاس في الوسط 1M HCl مع وجود المثبط عند إرتفاع درجة الحرارة.
- √ يناسب المستخلص المائي لأوراق العنب درجات الحرارة المنخفضة حيث تحققت أفضل كفاءة للتثبيط في مجال دراسة °C .
- الى ΔG°_{ads} النحاس على عينة النحاس ΔG°_{ads} إلى أن الامتزاز يتم بطريقة فيزيائية.
- √ تتبع عملية إمتزاز "المستخلص المائي لأوراق العنب" على سطح النحاس في وسط 1M HCl نموذج Freundlich .

قائمة المراجع الأجنبية

- [1] panelYuanhan Sun, Yingchao Zhang, Cheng Xu, Bochuan Tan , Wenpo Li, Xingwen Zheng , Ameni Brahmia, "Industrial Crops and Products: Honeysuckle extract as an environment-friendly corrosion inhibitor for copper in sulfuric acid medium", Article, July 2023
- [2] Nayem Hossaina, Mohamman Asaduzzaman Chowdhuryb, A.K.M. Parvez Iqbala, Md Sariful Islamb, Nur Yusuf Sheikh Omarb, A.Z.A. Saifullahb, "Paederia Foetida leaves extract as a green corrosion inhibitor for mild steel in hydrochloric acid solution", Article, Elsevier journals, 2021.
- [4] Abd El-Aziz S. Fouda, Ahmed Abdel Nazeer, Ayman Y. El-Khateeb, and Mohamed Fakih, "Cinnamon Plant Extract as Corrosion Inhibitor for Steel Used in Waste Water Treatment Plants and Its Biological Effect on Escherichia coli", Article in journal of the Korean Chemical Society 2014, Vol. 58, N°. 4
- [6] MEZHOUD BILEL, "SYNTHESE DES INHIBITEURS CONTRE LA CORROSION DES ACIERS", Mémoire de Magster, Univ-MENTOURI-Costantine, 2011.
- [9] SAOULI Khaoula, LAIADHI Feriel, "Etude de l'efficacité de l'inhibiteur organique (extrait d'oignon) sur la corrosion de l'acier C45 en milieu acide", Mémoire de Master, Univ- Mohamed Khider Biskra, 2021.
- [10] Atia yasmina," Caractérisations Des Dépôts Composites Electrolytiques Ni-Cr2O3 Sur Cuivre Par Des Test De Corrosion", Mémoire de Master, Université Med Khider Biskra, 2016
- [11] Melle GHORZI Hayet, MBOUZID DAHOU Arkia, "Etude expérimentale de l'effet inhibiteur des imidazopyrimidines contre la corrosion d'acier dans un milieu agressif", Mémoire de Master, Univ Belhadj Bouchaib Ain Temouchent, 2021.
- [14] Anaïs Even. "Compréhension des mécanismes d'inhibition de la corrosion dans le cadre de revêtements hybrides pour pièces aéronautiques. Matériaux". Université de Bretagne Sud, Français, , 2019.
- [15] H. EL BAKOURI. "Etude de l'inhibition de la corrosion de l'acier doux au carbone en milieu acide ortho-phosphorique par un antibiotique organique". Uni-M. Premier-Oujda. 2000.
- [16] Latifa HAMADI, "Application des inhibiteurs verts sur la corrosion des aciers en milieux agressif", Thèse de doctorat, Université de Batna 2 Mostefa Ben Boulaïd, 2020.
- [18] Imane Bouali, "Étude d'inhibiteurs de corrosion métallique à base d'orthophosphates de zirconium lamellaires fonctionnalisés: synthèse, caractérisations et applications", Thèse de doctorat, Université Caddi Ayyad, Marrakech (Maroc), 2018.
- [20] Florina Constantin, "Etude de l'efficacité d'inhibiteurs de corrosion utilisés dans les liquides de refroidissement", Thèse de doctorat, Universitatea din Pitești, Français, 2011.
- [22] Ghazal Sadat Sajadi, Fatemeh Salmanian, Razieh Naghizade, Seyed Mohammad Ali Hossein, "The inhibitive action of lemon verbena plant extract as an economical and eco-friendly corrosion inhibitor for mild steel in acidic solutions", Article, International Journal of Electrochemical Science, 2024.

- [23] H. K. Ibrahim, A. Muneer, and E. T. Kreem, "Effective adsorption of azure B dye from aqueous solution Using Snail Shell Powder", Article in Journal Biochem Tech 9(3): 39-44, 2018.
- [25] X. Zhang, A. Li, Z. Jiang, and Q. Zhang, "Adsorption of dyes and phenol from water on resin adsorbents: effect of adsorbate size and pore size distribution," Article, Journal of hazardous materials, vol. 137, no. 2, pp. 1115-1122, 2006
- [26] Gharbi Hanane kheira, Guentrah Khadidja, "ISOTHERMES D'ADSORPTION D'UN POLLUANT DE L'INDUSTRIE TEXTILE", Mémoire de Master, Univ-Abdel Hamid Ibn Badis Mostaganem, 2021.
- [27] Giulia Mastellone, Idaira Pacheco-Fernández, Patrizia Rubiolo, Verónica Pino Cecilia Caglier " sustainable Micro-Scale Extraction of Bioactive Phenolic Compounds from Vitis vinifera Leaves with Ionic Liquid-Based Surfactants" Article Academic Editor: Francesco Cacciola 6 July 2020.
- [28] Hamdy AB. Matter, Tariq M. Ayad, Abdulrhman A.I. Alkatly, "Grape Leaves and Ziziphus Spina-Christi, Extracts as a Green Inhibitors Corrosion for The Carbon Steel and Oil Pipelines in $1M\ H_2SO_4$ ", Article in Almanara scintific journal, Univ-Benghazi, May 2024, N°. 6 .
- [29] S. Allen and B. Koumanova, "Decolourisation of water/wastewater using adsorption," Article, Journal of the university of chemical technology and metallurgy, vol. 40, no. 3, pp. 175-192, 2005.
- [30] Kenza Djemaa-Landri, Sabrina Hamri-Zeghichi, Josep Valls, Stéphanie Cluzet, Richard Tristan, Nawel Boulahbal, Nabil Kadri, Khodir Madani, "Phenolic content and antioxidant activities of Vitis vinifera L. leaf extracts obtained by conventional solvent and microwave-assisted extractions", Article in Journal of Food Measurement and Characterization, Volume 14, pages 3551–3564, 2020.
- [31] Franks Kamgang Nzekoue, Manuella Lesly Kouamo Nguefang, Laura Alessandroni, Ahmed M. Mustafa, Sauro Vittori, Giovanni Caprioli, "Grapevine leaves (Vitis vinifera): Chemical characterization of bioactive compounds and antioxidant activity during leave development", Article in Journal Food Bioscience, Volume 50, Part B, December 2022.

قائمة المراجع العربية

- [3] بشار الحيدر، "إمكانية إستخدام مستخلص بذور الكتان كمثبط للتآكل الحمضي للفولاذ الكربوني"، مقال من مجلة جامعة البعث، المجلد 45، العدد الأول، 2023.
 - [5] ملوح سماح، بجرة أم الخير، "المساهمة في دراسة تثبيط تآكل الفولاذ الكربوني بواسطة زيت النعناع في وسط حمضي" مذكرة ماستر أكاديمي، جامعة قاصدي مرباح ورقلة، 2022.
 - [7] شارف فريدة، غول مبروكة، "تنبؤ فاعلية التثبيط لبعض مركبات ثنائي ثيول ثيون وأملاحها ضد التآكل"، مذكرة ماستر أكاديمي، جامعة قاصدي مرباح ورقلة، 2022.
- [8] نغم عارف أحمد خميس، "التأثير المشترك لمثبطات طبيعية مع أيون اليود للسيطرة على تآكل الفولاذ في الوسط الحامضي"، رسالة ماجستير، جامعة ديالي، العراق، 2011.
- [12] منال معلول، "تقدير الفعالية التثبيطية للمستخلص المائي للنبات الصحراوي Moltikia Ciliata تجاه تآكل الفولاذ الكربوني كريوني XC70 في أوساط حمضية"، مذكرة ماستر أكاديمي، جامعة حمه لخضر- الوادي، 2017.
- [13] تثبيط تآكل الفولاذ C45 في وسط حمض الهيدروليك (HCl0.5mol) بواسطة مستخلص مائي من قشور البرتقال، مذكرة ماستر، جامعة مجد خيضر بسكرة.
- [17] بباية نور الإيمان، أولاد أبو الخير مسعودة، " دراسة الفعل التثبيطي لبعض المركبات العضوية في وسط أكال لنوع من الفولاذ (دراسة نظرية)"، مذكرة ماستر أكاديمي، جامعة قاصدي مرباح-ورقلة، 2021.
- [19] مالك نعمة حواس، بشرى رشيد مجد، نوال حمودي موسى، " تطبيق بعض طرق الحماية على مقاومة التآكل الكهروكيميائي لفولاذ عالى الكربون CK80"، مجلة القادسية للعلوم الهندسية، المجلد الخامس، العدد 3، 95-105، 2012.
- [21] أيمن المصري، "التثبيط الأخضر لتآكل معدن الحديد في حمض الكبريت بمستخلص قشور الرمان بالماء"، مقال من مجلة جامعة دمشق للعلوم الأساسية، المجلد 43، العدد الأول، 2018.
 - [24] منير عبد العالي عباس الدعمي، منال سامي عبد الرضا، "الإمتزاز Adsorption"، مقال في مجلة جامعة كربلاء، العراق، 2024.

الملخص

يهدف هذا العمل إلى دراسة الفعالية التثبيطية لمستخلص مائي " لأوراق العنب " في مقاومة تآكل النحاس في وسط حمض الهيدروكلوريك (1M HCl)، بإستخدام تقنية " الكتلة الضائعة ". إعتمدنا في الدراسة على ثلاث عوامل: تركيز المثبط، زمن غمر العينة في الوسط الأكال ودرجة حرارة الوسط، وقد حقق المثبط "المستخلص المائي لأوراق العنب" فعالية في حماية النحاس من التآكل تصل إلى %91 في الشروط: 72h، °25C. تم إتباع نموذج Freundlich لشرح سلوك إمتزاز المثبط على سطح النحاس، ومن خلال حساب معاملات الإمتزاز الديناميكي الحراري للمستخلص توصلنا إلى أن عملية الإمتزاز عملية تلقائية وطاردة للحرارة وتتم بطريقة فيزيائية.

الكلمات المفتاحية: التآكل- المثبطات الخضراء- الكتلة الضائعة- الإمتزاز

Abstract

This work aims to study the inhibitory effectiveness of an aqueous extract of "grape leaves" in resisting copper corrosion in a hydrochloric acid medium (1M HCl), using the "weight loss" technique.

The study relied on three factors: inhibitor concentration, immersion time of the sample in the corrosive medium, and medium temperature. The inhibitor, "aqueous extract of grape leaves," achieved an effectiveness in protecting copper from corrosion of up to 91% under the conditions: 72h, 25C°.

The Freundlich model was followed to explain the adsorption behavior of the inhibitor on the copper surface. By calculating the thermodynamic adsorption coefficients for the extract, we concluded that the adsorption process is spontaneous, exothermic, and occurs physically.

Keywords: Corrosion - Green Inhibitors - Weight Loss - Adsorption

Résumé

Ce travail vise à étudier l'efficacité inhibitrice d'un extrait aqueux de "feuilles de vigne" dans la résistance à la corrosion du cuivre en milieu acide chlorhydrique (1M HCl), en utilisant la technique de la "perte de masse". Nous avons basé l'étude sur trois facteurs: la concentration de l'inhibiteur, le temps d'immersion de l'échantillon dans le milieu corrosif et la température du milieu. L'inhibiteur "l'extrait aqueux de feuilles de vigne" a atteint une efficacité de protection du cuivre contre la corrosion allant jusqu'à 91% dans les conditions: 72h, 25C°.

Le modèle de Freundlich a été suivi pour expliquer le comportement d'adsorption de l'inhibiteur sur la surface du cuivre, et en calculant les coefficients d'adsorption thermodynamique de l'extrait, nous avons conclu que le processus d'adsorption est spontané, exothermique et se déroule de manière physique.

Mots-clés: Corrosion- Inhibiteurs verts- Perte de masse- Adsorption